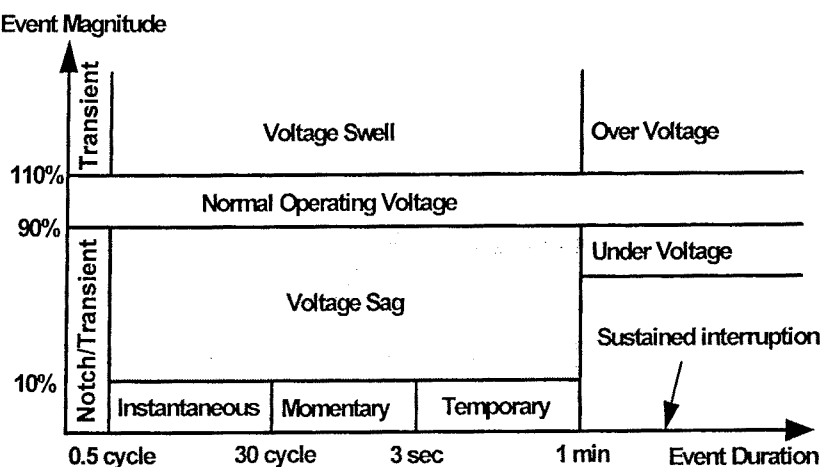




บทที่ 2

ทฤษฎี

จากแนวคิดในการสร้างชุด D-STATCOM เพื่อใช้ในการชดเชยแรงดันตกชั่วครู่ ส่วนที่ต้องศึกษานี้คือ หลักการความคุณการทำงานของ D-STATCOM ดังนั้นผู้จัดทำโครงการจึงได้ไปศึกษาทฤษฎีที่เกี่ยวข้องกับคุณภาพไฟฟ้าการเปลี่ยนแปลงแรงดันตามมาตรฐาน IEEE1159-1995 [2] คุณภาพกำลังไฟฟ้าคือ คุณลักษณะกระแสแรงดัน และความถี่ของแหล่งจ่ายไฟฟ้าในสภาวะต่างๆที่มีการเปลี่ยนแปลงแรงดันอันส่งผลให้อุปกรณ์ไฟฟ้ามีการทำงานผิดพลาด หรือเกิดการเสียหาย ปัญหาคุณภาพไฟฟ้าที่ทำให้เกิดแรงดันไฟฟ้าตกชั่วครู่สำคัญสาเหตุหนึ่ง คือการเกิดความผิดพร่องในระบบไฟฟ้าโดยมาตรฐาน IEEE Std 1159-1995 มีการเรียกชื่อแรงดันดังกล่าวตามระยะเวลาที่เกิดคือการเกิดการเปลี่ยนแปลงแรงดันในเวลาทันทีทันใด(Instantaneous) ที่เวลาการเกิด 0.5 Cycle – 30 Cycle ชั่วขณะ (Momentary) ที่เวลาการเกิด 30 Cycle – 3 Sec. และชั่วครู่(Temporary) ระยะเวลาการเกิด 3 Sec.- 1 Min. ดัง รูปที่ 2.1



รูปที่ 2.1 การเปลี่ยนแปลงแรงดันตามมาตรฐาน IEEE 1159-1995.

โดยในโครงการนี้ได้มีแนวคิดในการสร้างชุดชดเชยแรงดันแบบบานานเบื้องต้น โดยการทำางานของอุปกรณ์ชุดชดเชยแรงดันแบบบานานเบื้องต้นนี้ จะควบคุมกระแสเพื่อรักษาแรงดันในระบบไฟฟ้ากำลัง เพื่อควบคุมค่ายอดแรงดัน ความถี่ และเฟส ที่ดูดต่อกริด (Grid) เพื่อทำให้แรงดันที่โหลดได้รับแรงดันเท่ากับแรงดันมาตรฐาน



2.1 คุณภาพกำลังไฟฟ้า

ปัจจุบันคำว่า คุณภาพกำลังไฟฟ้า (Power Quality) เป็นคำที่พูดถึงบ่อยในเรื่องของความมั่นคงการจ่ายไฟฟ้าของระบบจากการไฟฟ้าฯ และกรณีเมื่อเกิดปัญหาอุปกรณ์ไฟฟ้ามีการทำงานผิดพลาด หรือหยุดการทำงานจากผู้ใช้ไฟฟ้า ซึ่งเห็นได้ว่าคำนิยามของคำว่าคุณภาพกำลังไฟฟ้า ระหว่างการไฟฟ้าและผู้ใช้ไฟฟ้าจะพูดถึงในกรณีที่แตกต่างกัน ไปแต่ในความเป็นจริงแล้วมีความหมายเดียวกันซึ่งนิยามของคุณภาพกำลังไฟฟ้า ตามมาตรฐานสากล IEC และ IEEE ให้ความหมายของคุณภาพกำลังไฟฟ้า คือ คุณลักษณะกระแสแรงดัน และความถี่ของแหล่งจ่ายไฟฟ้าในสภาวะปกติไม่ทำให้อุปกรณ์ไฟฟ้ามีการทำงานผิดพลาดหรือเกิดการเสียหาย

2.1.1 เหตุผลหลักที่ทำให้มีการพัฒนาคุณภาพกำลังไฟฟ้า

2.1.1.1 เนื่องจากในปัจจุบันในกระบวนการผลิตของภาคอุตสาหกรรม มีการใช้อุปกรณ์ไฟฟ้ามีเทคโนโลยีสูงขึ้น ซึ่งจะมีความไวในการตอบสนองต่อการเปลี่ยนแปลงคุณภาพของกำลังไฟฟ้ามากกว่าในอดีต โดยเฉพาะอุปกรณ์ประเภทอิเล็กทรอนิกส์กำลังดังเช่น อุปกรณ์ที่ถูกควบคุมด้วยไมโครโพรเซสเซอร์, โปรแกรมเมเบิลคอมจิกคอน โทรลเลอร์ (PLC), Adjustable Speed Drive (ASD) และรีเลย์บางชนิด ฯ

2.1.1.2 การเพิ่มขั้นของการใช้อุปกรณ์ไฟฟ้าที่มีเทคโนโลยีสูงขึ้นเพื่อเพิ่มประสิทธิภาพในระบบไฟฟ้า ดังเช่น ตัวอย่างของกระบวนการผลิตในโรงงานอุตสาหกรรมหนึ่งมีการใช้อุปกรณ์ ASD เพื่อเพิ่มประสิทธิภาพในการผลิตซึ่ง ASD เป็นแหล่งจ่ายาร์มอนิกส์ ทำให้เกิดปัญหาร์มอนิกส์ผลกระทบต่อระบบไฟฟ้านั้นได้ และถ้ามีค่าป่าเซตอัตโนมัติคงอยู่ในระบบ เพื่อปรับปรุงกำลังไฟฟ้า ก็ยังทำให้เกิดปัญหาร์มอนิกส์รุนแรงมากยิ่งขึ้น

2.1.1.3 ผู้ใช้ไฟฟารับถึงปัญหาคุณภาพไฟฟ้ามากขึ้น ที่มีผลกระทบต่อระบบ การผลิตในอุตสาหกรรมของตัวเองมากขึ้น ดังเช่น ปัญหาจากแรงดันตกชั่วระยะสั้น (Voltage Sag) ทำให้การไฟฟ้าหายแนวทางและวิธีการเพื่อปรับปรุงคุณภาพไฟฟ้าให้ดีขึ้น

2.1.1.4 ระบบไฟฟ้าที่มีการเชื่อมต่อถึงกัน ถ้าส่วนใดของระบบเกิดปัญหา คุณภาพไฟฟ้าก็จะทำส่วนอื่นๆของระบบได้รับผลกระทบจากปัญหาคุณภาพกำลังไฟฟ้าตามไปด้วย ดังเช่น โรงงานอุตสาหกรรมหนึ่งมีการใช้โหลดที่เป็นแหล่งจ่ายาร์มอนิกส์และอาร์มอนิกส์นั้นอาจไหลเข้าสู่ระบบไฟฟ้า อาจทำให้โรงงานบริเวณข้างเคียงได้รับผลกระทบจากปัญหาร์มอนิกส์ ค้ายเช่นกัน



2.1.2 ปัญหาคุณภาพไฟฟ้าที่เกิดขึ้นโดยทั่วไปเกิดจาก 5 สาเหตุใหญ่

2.1.2.1 จากปรากฏการณ์ธรรมชาติ เช่น พายุ

2.1.2.2 จากการเกิดสถานะความผิดพร่อง(fault) ทางไฟฟ้าในระบบสายส่งและระบบชำหน่ายของการไฟฟ้า

2.1.2.3 จากการกระทำการสวิตชิ่งอุปกรณ์ในระบบ

2.1.2.4 จากการใช้อุปกรณ์ที่ไม่เป็นเชิงเส้นในระบบอุตสาหกรรม

2.1.2.5 จากการต่อลงดินที่ไม่ถูกต้อง

2.1.3 มาตรฐานของแรงดันตกชั่วครู่

ในการให้ความหมายของแรงดันตกชั่วขณะนี้ยังไม่มีความชัดเจนเท่าที่ควร โดยทั่วไปในส่วนของระยะเวลาที่เกิดขึ้นและขนาดที่ใช้จะบอกถึงความรุนแรงของปัญหาแรงดันตก จึงพบว่าหลายมาตรฐานมีการกำหนดค่านิยามที่แตกต่างกันดังกราฟของมาตรฐาน IEC Standard และ IEEE Standard

2.1.3.1 IEC Standard แรงดันตกชั่วขณะ คือ ปรากฏการณ์ที่แรงดันลดลงจากระดับปกติอย่างทันทีทันใดและคืนกลับสู่ภาวะปกติกายในระยะเวลา 0.5 Cycle ถึงประมาณ 2-3 วินาที โดยระดับแรงดันที่ลดลง จะแสดงเป็นเปอร์เซนต์เบรยนเทียบกับระดับแรงดันปกติ

2.1.3.2 IEEE Standard แรงดันตกชั่วขณะคือระดับแรงดันที่ลดลงระหว่าง 0.1 ถึง 0.9 pu. จากระดับแรงดัน RMS ปกติกายในระยะเวลา 0.5 Cycle ถึง 1 นาที ตามประเภทของแรงดันตกดังนี้

ก) Instantaneous : 0.5 - 30 Cycles

ข) Momentary : 30 Cycles - 3 Sec.

ค) Temporary : 3 Sec. - 1 Min

นอกจากนี้ มาตรฐาน IEEE Standard และ IEC Standard ยังแบ่งออกเป็นมาตรฐานย่อยๆ อีกหลายมาตรฐาน ดังตารางที่ 2.1



การวิเคราะห์และออกแบบชุดชุดเชิงแรงดัน
ปรับปรุงการเกิดการเปลี่ยนแปลงแรงดันจากการผลิตกระแสไฟฟ้าด้วยกังหันลม

ตารางที่ 2.1 มาตรฐานย่อยของ IEC และ IEEE

Standard	Area Of Applicability	Subject
IEEE 493	Industrial and Commercial System	Criteria to reliability Evaluations
IEEEp 1346	Electrical System	General Guide and Methodology to voltage Sag Evaluations
IEEE 446	Industrial and Commercial System	Range of sensibility Load (CBEMA)
IEEE 1159	General Power System	Voltage Sag Definitions and Monitoring
IEEE 1100	General Power System	Voltage Sag Monitoring
IEEE 1250	Equipment	Guide to Electronic Equipment
IEC 1000-2-2	Unity Power System	-
IEC 1000-2-4	Industrial and Commercial System Power System	Limits of Compatibility
IEC 1000-4-11	Equipment	Immunity Tests

ที่มา : <http://th.wikipedia.org>

2.1.4 การเปลี่ยนแปลงแรงดันระยะสั้น(Short Duration Voltage Variation)

การเปลี่ยนแปลงค่าแรงดัน rms ที่มีระยะเวลาการเปลี่ยนแปลงค่าไม่เกิน 1นาที มีสาเหตุส่วนใหญ่เกิดจากสถานะความผิดพลาด (fault) ทางไฟฟ้าทำให้เกิดเหตุการณ์แรงดันตก (Voltage Sag หรือ Voltage Dip) แรงดันเกิน (Voltage Swell) และไฟดับ (Interruptions) มาตรฐาน IEEE Std 1159-1995 มีการเรียก ชื่อแรงดันดังกล่าวตามระยะเวลาที่เกิดคือเวลาทันที ทันใด (Instantaneous) ชั่วขณะ (Momentary) และชั่วครู่ (Temporary) ดังตารางที่ 2.2

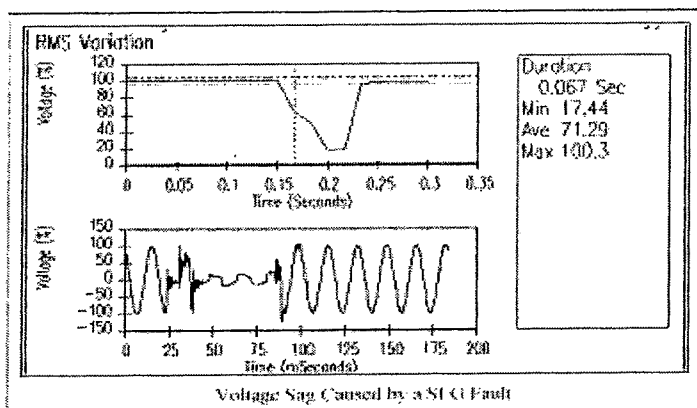


การวิเคราะห์และออกแบบชุดชดเชยแรงดัน
ปรับปรุงการเกิดการเปลี่ยนแปลงแรงดันจากการผลิตกระแสไฟฟ้าด้วยกังหันลม

ตารางที่ 2.2 แสดงระยะเวลาการเกิดแรงดันตก แรงดันเกิน และไฟดับในช่วงเวลาสั้นๆ

ช่วงระยะเวลาสั้น (Short Duration)		ช่วงระยะเวลาการเกิด (Typical duration)	ขนาดแรงดัน (Voltage magnitude)
แบบทันทีทันใด (Instantaneous)	Sag	0.5-30 คาบ (10 มิลลิวินาที-1 วินาที)	0.1-0.9 p.u.
	Swell	0.5-30 คาบ (10 มิลลิวินาที-1 วินาที)	1.1-1.8 p.u.
แบบชั่วขณะ (Momentary)	Interruption	0.5 คาบ-3 วินาที(10 มิลลิวินาที-3วินาที)	< 0.1 p.u.
	Sag	30 cycles-3 s (1 - 3 วินาที)	0.1-0.9 p.u.
	Swell	30 cycles-3 s (1 - 3 วินาที)	1.14-1.4 p.u.
แบบชั่วครู่ (Temporary)	Interruption	3 s-1 min (3 วินาที – 1 นาที)	< 0.1 p.u.
	Sag	3 s-1 min (3 วินาที – 1 นาที)	0.1-0.9 p.u.

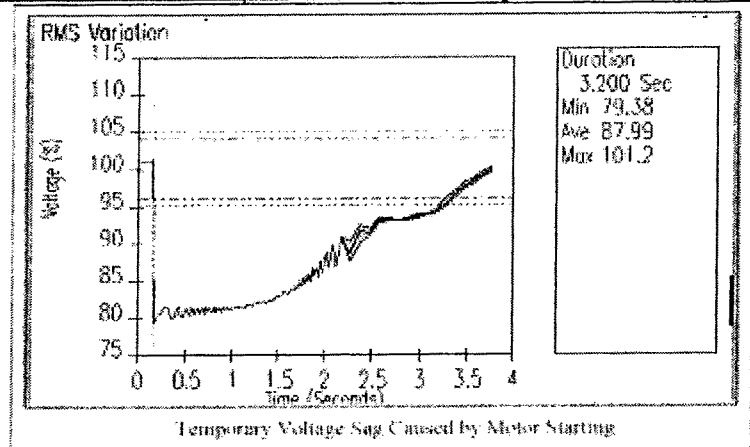
แรงดันตกช่วงสั้น (Voltage Sag) คือ ค่าแรงดัน rms มีขนาดลดลงระหว่าง 0.1-0.9 pu. ในช่วงเวลาระหว่าง 10 ms - 1min ดังรูปที่ 2.1 มีสาเหตุส่วนใหญ่ เกิดขึ้นกับเฟสที่เกิดความผิดพร่องทางไฟฟ้าดังรูปที่ 2.2 ทำให้แรงดันมีค่าลดลงเหลือ 0.2 pu. ของแรงดันปกติ (80% sag) ในช่วงเวลา 3 ไซเคิล และรูปที่ 2.3 แรงดันมีค่าลดลงจากผลของการสถาาร์ทมอเตอร์ขนาดใหญ่ซึ่งมอเตอร์อินดักชันขับเคลื่อนที่มีกระแสสูงถึง 6-10 เท่าของกระแสไฟหลอดปกติ ผลทำให้อุปกรณ์ที่ไม่ต่อการเปลี่ยนแปลงคุณลักษณะของแหล่งจ่ายไฟ มีการทำงานผิดพลาดหรือหยุดการทำงาน



รูปที่ 2.2 Voltage Sag จากสาเหตุการเกิดความผิดพร่องทางไฟฟ้าลงดิน



การวิเคราะห์และออกแบบชุดชดเชยแรงดัน
ปรับปรุงการเกิดการเปลี่ยนแปลงแรงดันจากการผลิตกระแสไฟฟ้าด้วยกังหันลม



รูปที่ 2.3 Voltage Swell จากสาเหตุการเกิดความผิดพร่องทางไฟฟ้าลงดิน

2.1.5 ช่วงระยะเวลา

ช่วงระยะเวลา(Long Duration Voltage Variations) คือการเปลี่ยนแปลงแรงดันไฟฟ้าประสิทธิผล สาเหตุเกิดจากการเปลี่ยนแปลงการทำงานของโหลดขนาดใหญ่ โดยมีระยะเวลามากกว่า 1 นาที โดยสามารถแบ่งออกได้เป็น 3 เหตุการณ์ด้วยกัน ดังตารางที่ 2.2

ตารางที่ 2.3 การเปลี่ยนแปลงค่าแรงดันไฟฟ้าช่วงระยะเวลา

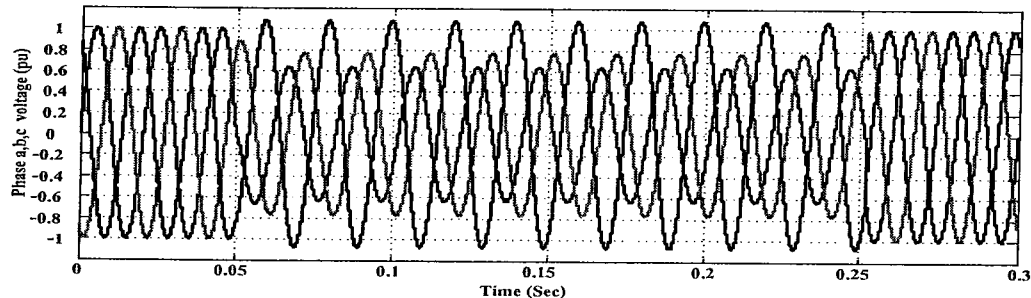
ช่วงระยะเวลา	ช่วงระยะเวลาการเกิด	ขนาดแรงดัน
(Long Duration)	(Typical duration)	(Voltage magnitude)
Interruption, Sustained	>1 min	0.0 pu
Under Voltage	>1 min	0.8-0.9 pu
Over Voltage	>1 min	1.1-1.2 pu

2.2 แรงดันไฟฟ้าตกชั่วขณะ

แรงดันตกชั่วขณะคือ ระดับแรงดันที่ลดลงระหว่าง 0.1- 0.9 p.u. จากระดับแรงดันประสิทธิผลปกติ ภายในช่วงเวลา 0.5 นาที (10 มิลลิวินาที) ถึง 1 นาที และมีองค์ประกอบที่สำคัญคือขนาดความลึกของแรงดันช่วงเวลาในการเกิด และการเลื่อนเฟสเป็นตัวบ่งชี้ระดับดันความรุนแรงของปัญหา และสาเหตุหลักที่ทำให้เกิดแรงดันตกชั่วขณะจากการความผิดพร่อง (Fault) ในระบบส่งจ่ายไฟฟ้าหรือการเริ่มเดินมอเตอร์ขนาดใหญ่ซึ่งส่งผลในการทำให้อุปกรณ์ที่มีความไว



ต่อการเปลี่ยนแปลงของแรงดัน (Voltage sensitive equipment) ต้องป้องกันจากภาระระบบหรือทำงานผิดพลาด



รูปที่ 2.4 คลื่นแรงดันเมื่อเกิดแรงดันตกชั่วขณะนิด 2 เฟส ลงกราวด์

2.2.1 สาเหตุการเกิดแรงดันตกชั่วขณะ

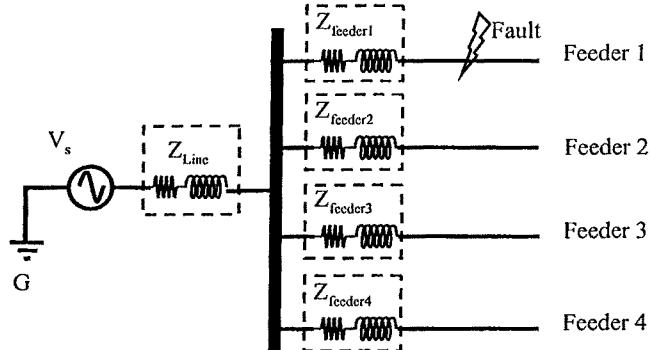
แรงดันตกชั่วขณะสามารถเกิดได้จากหลายสาเหตุ แต่สาเหตุหลักนั้นเกิดจากการเกิดความผิดพร่อง(Fault) ในระบบไฟฟ้าที่บัสข้างเคียงหรือในระบบจำหน่ายไฟฟ้า ตัวอย่างของการเกิดแรงดันตกชั่วขณะแสดงดังแสดงในรูปที่ 2.4 เมื่อเกิดความผิดพร่องที่สายจ่ายไฟฟ้าที่ 1 (Feeder1) ไฟฟ้าดับจะเกิดขึ้นที่สายจ่ายไฟฟ้านี้ แต่สายจ่ายไฟฟ้าอีกสามสายที่ต่อขนานอยู่นี้จะเกิดแรงดันตกชั่วขณะ เนื่องจากกระแสโดยส่วนใหญ่จะไหลผ่านสายจ่ายไฟฟ้าที่ 1 โดยแรงดันที่บัสนี้หรือแรงดันตกชั่วขณะที่ต่อกรุ่นสายจ่ายไฟฟ้าที่ 2 (Feeder2), 3 (Feeder3) และ 4 (Feeder4) สามารถหาได้จากทฤษฎีการแบ่งแรงดัน (Voltage divider) [3] ดังสมการที่ 2.1 ขนาดของแรงดันตกชั่วขณะขึ้นอยู่กับค่าออมพีเดนซ์ของสายจ่ายไฟที่ 1 (Z_{feed1}) หรือคือระยะห่างระหว่างตำแหน่งของความผิดพร่องที่เกิดขึ้นกับบัสร่วม (Common bus)

$$V_{Feeder\ 2,3,4} = V_s \frac{Z_{Feeder\ 1}}{Z_{Line} + Z_{Feeder\ 1}} \quad2.1$$

เมื่อ $V_{Feeder\ 2,3,4}$ คือ ลำดับของสายไฟฟ้า

Z_{Line} คือ ค่าออมพีเดนซ์ที่ต้นสาย

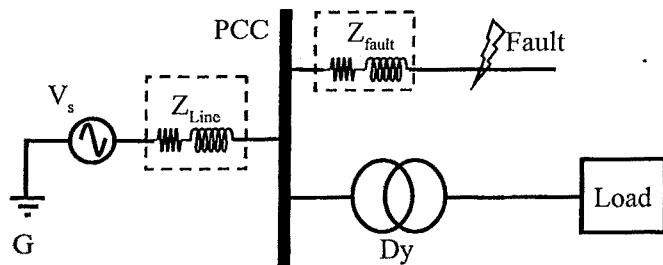
Z_{Feeder} คือ ค่าออมพีเดนซ์ระหว่างจุดต่อร่วม กับจุดต่อร่วมที่เกิดความผิดพร่อง



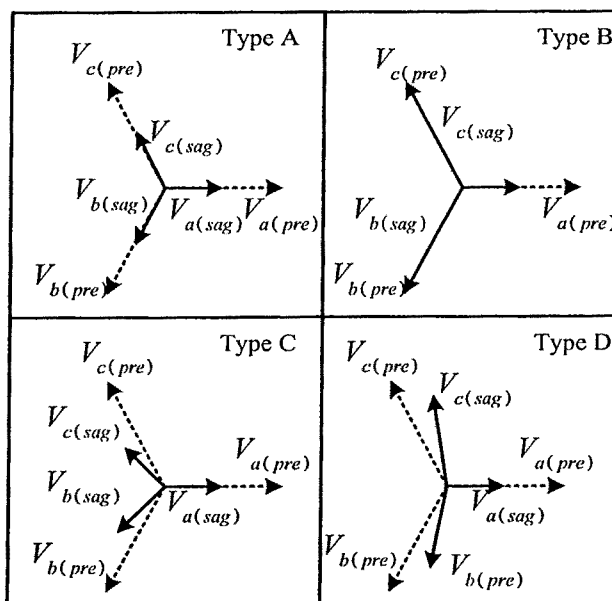
รูปที่ 2.5 ระบบจำหน่ายไฟฟ้าที่ทำให้เกิดแรงดันตกชั่วขณะ

2.2.2 ลักษณะของแรงดันตกชั่วขณะ

แรงดันตกชั่วขณะมีได้หลายลักษณะขึ้นอยู่กับ ประเภทและตำแหน่งของความผิด พร่องในระบบไฟฟ้า รวมทั้งประเภทของการต่อหม้อแปลงไฟฟ้า 3 เฟสที่ต่ออยู่ในระบบไฟฟ้า



รูปที่ 2.6 ระบบจำหน่ายไฟฟ้าที่ทำให้ลักษณะของแรงดันตกชั่วขณะมีการเปลี่ยนแปลง

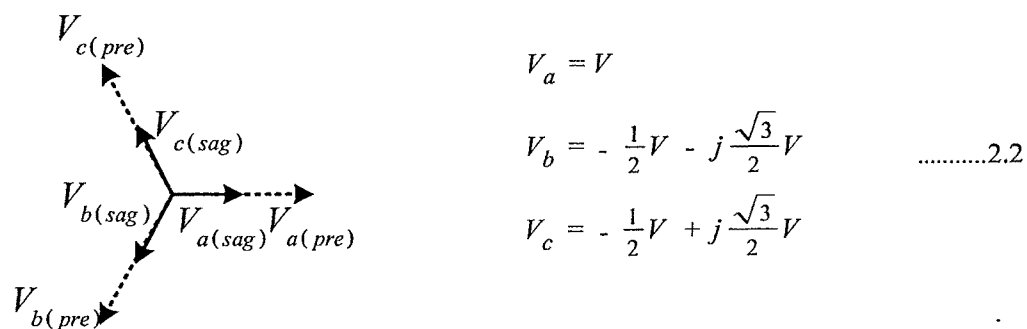


รูปที่ 2.7 เฟสเซอร์ของแรงดันตกชั่วขณะทั้ง 4 ประเภท



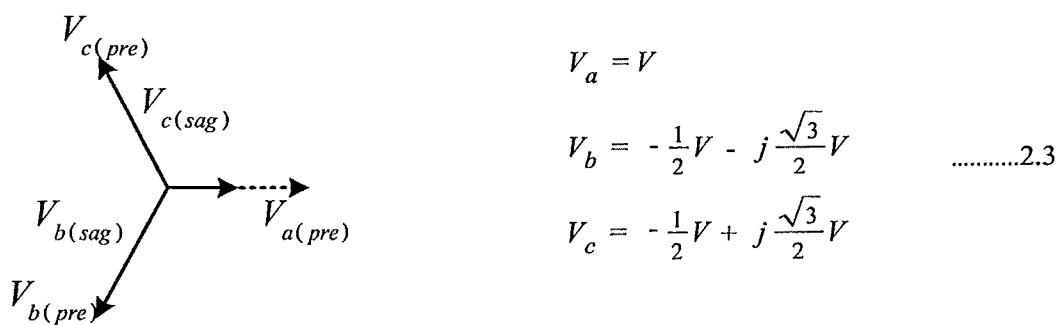
รูปที่ 2.7 แสดงภาพเฟสเซอร์ของแรงดันตกชั่วขณะ ซึ่งแบ่งตามการเกิดความผิดพร่องขึ้นในระบบไฟฟ้า ซึ่งมีหม้อแปลงแรงดันไฟฟ้า 3 เฟสชนิด เคลตตา/วาย(D/Y) ต่ออยู่ในระบบ ดังนั้นจึงแบ่งชนิดของแรงดันตกชั่วขณะ ได้เป็น 4 ประเภทที่ใช้สำหรับการวิเคราะห์ในวิทยานิพนธ์นี้ เส้นปะเป็นเฟสเซอร์แรงดันก่อนเกิดความผิดพร่อง และเส้นที่เป็นเฟสเซอร์แรงดันขณะเกิดความผิดพร่องบนแรงดัน 3 เฟส

1. แรงดันตกชั่วขณะซึ่งเกิดจากความผิดพร่องแบบ 3 เฟส ชนิด A มีลักษณะของแรงดันที่ขนาดลดลงจากปกติแบบสมมาตรและไม่มีการกระโดดของมูนเฟส ดังแสดงในรูปที่ 2.8

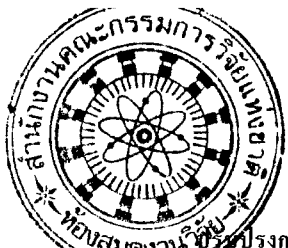


รูปที่ 2.8 เฟสเซอร์เรงคันตากชั่วขณะซึ่งเกิดจากความผิดพร่องแบบ 3 เฟส

2. แรงดันตกชั่วขณะซึ่งเกิดจากความผิดพร่องแบบ 3 เฟส ชนิด B เป็นแรงดันตกชั่วขณะที่เกิดจากความผิดพร่องลงดินเส้นเดียวซึ่งเป็นผลให้แรงดันมีขนาดลดลงหนึ่งเฟส แรงดันตกชั่วขณะนี้เกิดจากการต่อหม้อแปลงแบบวายต่องround (Wye-Ground) ซึ่งมีผลของส่วนประกอบลำดับศูนย์มากที่จะส่งผลกระทบต่ออุปกรณ์ไฟฟ้าในระบบส่งจ่ายไฟฟ้า เนื่องจากอุปกรณ์สามเฟส ในระบบส่วนใหญ่จะต่อใช้งานเป็นแบบเดลตา (Delta) หรือ แบบวายไม่มีต่องround (Wye-Unground) เพราะการต่อแบบนี้ทำให้ผลรวมของกระแสที่จุดนิวทรอลเป็นศูนย์แสดงได้ดังแสดงในรูปที่ 2.9 และสมการ 2.3

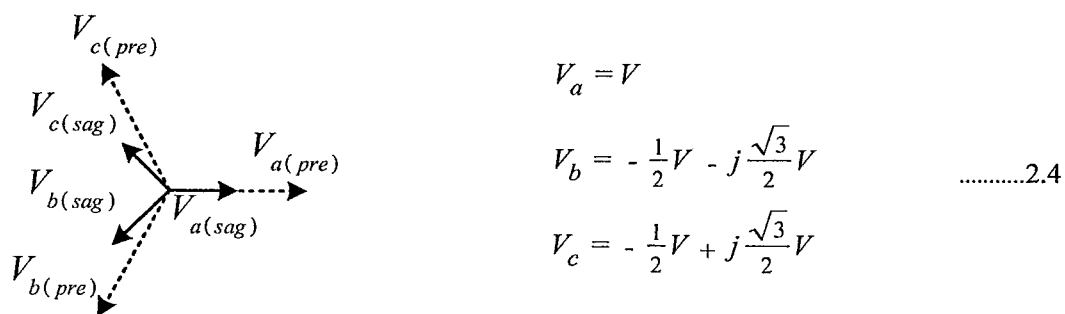


รูปที่ 2.9 เพสเซอร์แรงดันตกลงชั่วขณะซึ่งเกิดจากความผิดพร่องลงดินเส้นเดียว



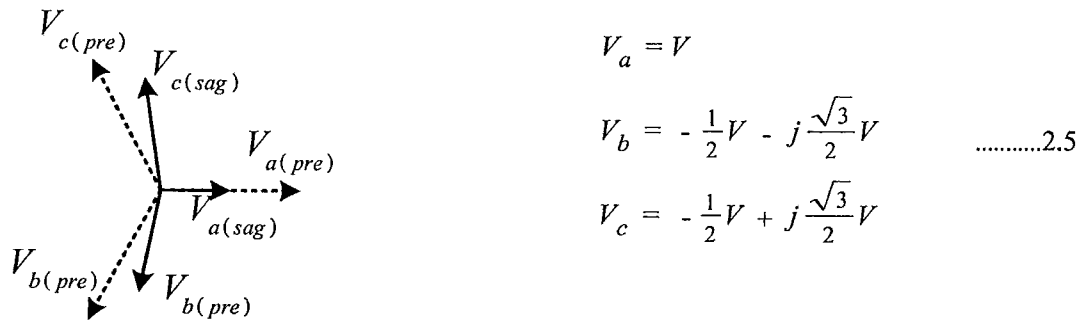
การวิเคราะห์และออกแบบชุดชาเยี่ยแรงดัน
แรงดันจากการผลิตกระรสไฟฟ้าด้วยกังหันลม

3. แรงดันตกชั่วขณะซึ่งเกิดจากความผิดพร่องแบบ 3 เฟส ชนิด C เป็นแรงดันตกชั่วขณะที่เกิดจากความผิดพร่องระหว่างสายในระบบที่ต่อลงดิน (Phase to ground) เมื่อเกิดความผิดพร่องระหว่างสายขึ้น ระดับแรงดันจะลดลงทั้งสองเฟสและมีผลทำให้มีมุมเลื่อนเฟสเกิดขึ้นด้วย นอกจาก นั้นระบบที่ไม่ต่อลงดินก็สามารถก่อให้เกิดรูปแบบชนิดนี้ได้ เช่นกัน หากเกิดความผิดพร่องแบบลงดินเส้นเดียวขึ้นแสดงดังสมการที่ 2.4



รูปที่ 2.10 เฟสเซอร์แรงดันตกชั่วขณะซึ่งเกิดจากความผิดพร่องระหว่างสายในระบบที่ต่อลงดิน

4. แรงดันตอกชี้ว่าขณะซึ่งเกิดจากความผิดพร่องแบบ 3 เฟส ชนิด D เป็นแรงดันตอกชี้ว่าขณะที่เกิดจากความผิดพร่องระหว่างสาย ซึ่งเป็นผลให้แรงดันมีขนาดลดลงหนึ่งเฟสและเกิดนูนเดื่อนเฟสขึ้นด้วย โดยทั่วไปจะเกิดกับระบบที่มีอุปกรณ์ไฟฟ้าต่อใช้งานเป็นแบบไม่ต่อลงคินแสดงดังสมการที่ 2.5



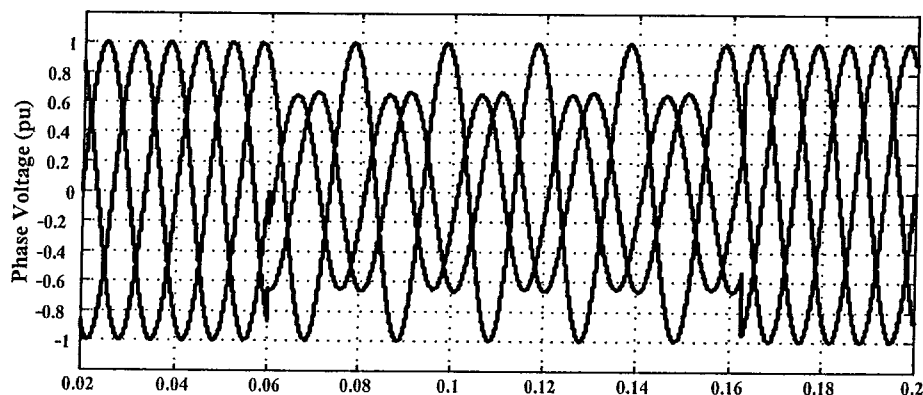
รูปที่ 2.11 เฟสเซอร์แรงดันตกชั่วขณะซึ่งเกิดจากความผิดพร่องระหว่างสาย

สำนักงานคณะกรรมการวิจัยแห่งชาติ
ห้องสมุดงานวิจัย
วันที่.....๓๑ ๘.๐. ๒๕๕๔
เลขทะเบียน..... 237111
เลขเรียกหนังสือ.....



2.3 ความไม่สมมาตรของแรงดันไฟฟ้า

แรงดันไฟฟ้าไม่สมมาตร(Voltage Unbalance)[4] คือความไม่สมมาตรกันในระบบไฟฟ้า 3 เฟสไม่ว่าจะเป็นส่วนของขนาด, มุมต่างเฟส (แต่ละเฟสห่างกัน 120°) และองค์ประกอบของสัญญาณไฟฟ้า ทั้งลำดับบวก (Positive sequence) ลำดับลบ (Negative sequence) และลำดับศูนย์ (Zero sequence) ซึ่งอาจมีสาเหตุมาจากการเกิดความผิดพร่องของระบบไฟฟ้าหรือการสตาร์ทโหลดขนาดใหญ่เกิดขึ้น



รูปที่ 2.12 การเกิดแรงดันไฟฟ้าไม่สมมาตรในระบบไฟฟ้า 3 เฟส

ระดับค่าแรงดันไฟฟ้าประสิทธิผลไม่สมมาตรหากได้จากการดึงนี้

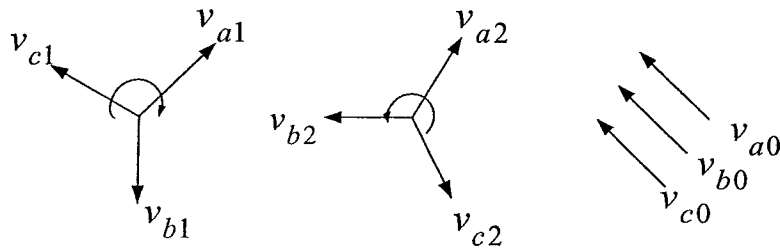
การเกิดสภาวะไม่สมมาตรของแรงดัน 3 เฟส (V_a , V_b และ V_c) สามารถทำให้องค์ประกอบของแรงดันมีความแตกต่างกันด้วย ดังนี้

1. องค์ประกอบของลำดับบวก (Positive – sequence components) นั่นคือ V_{a1} , V_{b1} และ V_{c1} ซึ่งประกอบไปด้วยแรงดันทั้ง 3 เฟส มีขนาดแรงดันเท่ากัน มีมุมต่างกัน 120° ในแต่ละเฟส และมีการลำดับเฟสเหมือนกันกับแรงดันเริ่มต้น(Original)



2. องค์ประกอบลำดับลบ (Negative -sequence components) นั้นคือ V_{a2} , V_{b2} และ V_{c2} ซึ่งประกอบไปด้วยแรงดันทั้ง 3 เฟส มีขนาดแรงดันเท่ากัน มีมุมต่างกัน 120° ในแต่ละเฟส และมีการลำดับเฟสตรงกันข้ามกับ แรงดันเริ่มต้น

3. องค์ประกอบของลำดับศูนย์ (Zero -sequence components) นั่นคือ V_{a0} , V_{b0} และ V_{c0} ซึ่งประกอบไปด้วยแรงดันทั้ง 3 เฟส มีขนาดแรงดันเท่ากัน และมีเฟสไปในทิศทางเดียวกัน



รูปที่ 2.13 องค์ประกอบของความไม่สมมาตรของแรงดัน 3 เพส

จากสมการด้านบนสามารถเขียนในรูปของแมททริกได้ดังสมการที่ 2.6

โดยที่ V_a, V_b และ V_c กือ ค่าแรงดันระหว่าง เฟสกับนิวตรอน

V_a^0, V_b^+, V_c^- หรือ $\nu_a^0, \nu_a^+, \nu_a^-$ ก็คือ ค่าองค์ประกอบของแรงดันลำดับสูญญ์ ลำดับบวก และลำดับลบ ที่แสดงนี้เป็นแรงดันที่เฟสเอ

$\alpha = e^{j2\pi/3}$ คือ ตัวแปรของ การเลื่อนเฟส (phase-shift)

2.4 วงจรกรองสัญญาณไฟฟ้าความถี่ต่ำผ่าน (Low Pass Filter)

วงจรกรองสัญญาณ ไฟฟ้าที่ยอมให้สัญญาณที่มีความถี่ตั้งแต่ 0 เฮิรตซ์ ไปจนถึงความถี่ที่กำหนดผ่านไปได้ ส่วนความถี่ตั้งแต่ความถี่ที่กำหนดขึ้นไปจะถูกตัดทิ้งจร Low Pass Filter มีลักษณะการต่อคือ ใช้ตัวเหนี่ยวนำ อนุกรมกับวงจรและตัวเก็บประจุขนาดนักบวงจรคุณสมบัติของวงจรก็คือ เมื่อเราป้อนความถี่ต่ำเข้าตัวเหนี่ยวนำจะมีค่าอินดักที่พรีแอคเคนซ์ต่ำตัวเก็บประจุจะมีค่า capacitor ที่พรีแอคเคนซ์สูง ทำให้ความถี่ต่ำผ่านตัวเหนี่ยวนำได้สะควรระดับสัญญาณ Output

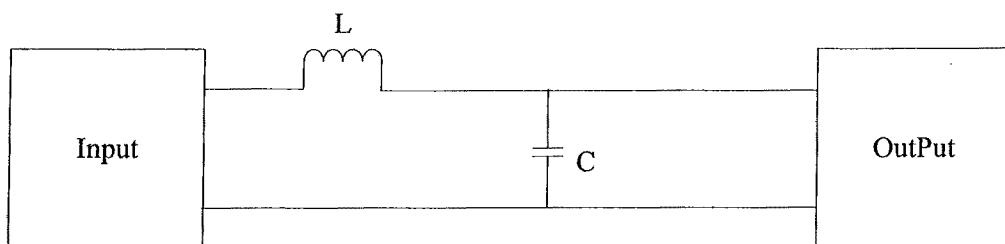


การวิเคราะห์และออกแบบชุดขยายแรงดัน
ปรับปรุงการเดินทางเปลี่ยนแปลงแรงดันจากการผลิตกระแสไฟฟ้าตัวยังหันลม

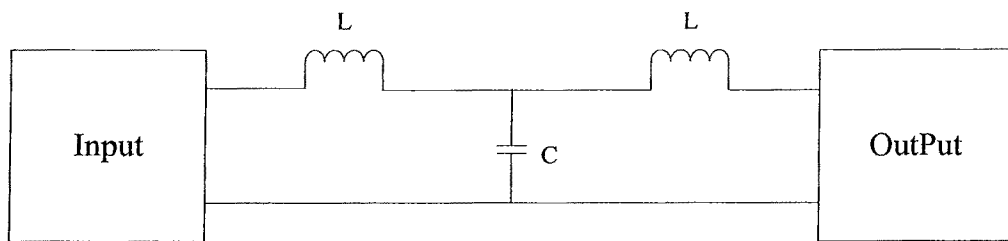
จึงผ่านได้มาก แต่เมื่อความถี่สูงกว่าจุดที่กำหนดค่าอินดักทีฟรีแอคแทนซ์จะมากขึ้นค่าปานิชทีฟรี แอคแทนซ์จะลดลง ทำให้ความถี่ผ่านของคลื่นได้ลดลงบางส่วนที่ผ่านไปได้ก็จะถูกตัวเก็บประจุ ดึงลงกราวด์ ระดับสัญญาณ Output จึงผ่านได้น้อยมาก แสดงดังรูปที่ 2.14 สามารถแบ่งได้ 2 แบบ คือ T-Type และ Pi-Type และช่วงเวลาทำงานแสดงดังรูปที่ 2.17

วงจรกรองสัญญาณไฟฟ้าความถี่ต่ำผ่าน Low Pass Filter แบบ T-Type วงจนี้จะใช้ตัวเหนี่ยวนำหรือตัวเก็บประจุเพียงตัวเดียว จึงไม่สามารถกำจัดสัญญาณความถี่สูงได้หมดครอง จุด Cut Off ทำให้ความถี่สูงผ่านไปได้ จึงแก้ปัญหาโดยการเพิ่มตัวเหนี่ยวนำเข้าไปในวงจรอีกชุด เมื่อต่อแล้ว ลักษณะของคลื่น ตัว T เราจึงเรียกว่า วงจรกรองความถี่ต่ำผ่านแบบที่การกรองความถี่ต้องการประสิทธิภาพจะใช้วงจรนี้หลายชุด แสดงดังรูปที่ 2.15

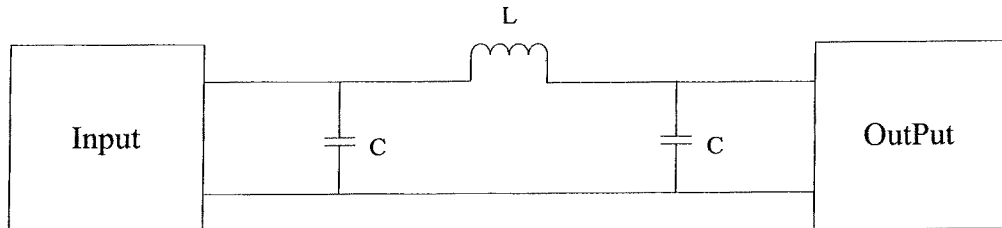
วงจรกรองสัญญาณไฟฟ้าความถี่ต่ำผ่าน Low Pass Filter แบบ Pi-Type วงจนี้จะใช้ตัวเก็บประจุจำนวน 2 ตัวและตัวเหนี่ยวน้ำ 1 ตัวต่อ กันดังรูปที่ 2.16 รูปว่างคล้ายตัว Pi (พาย) จึงเรียก กันว่า วงจรกรองความถี่ต่ำผ่านแบบพายวงจรแบบนี้จะนิยมใช้ในภาคจ่ายไฟและวงจร Regulator



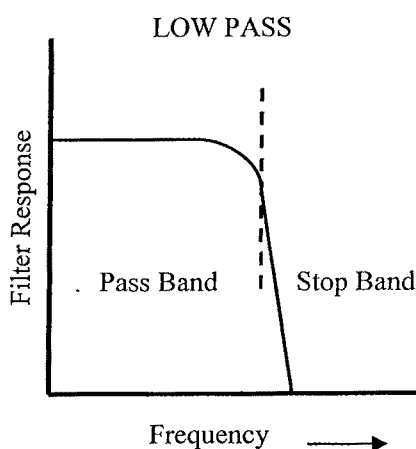
รูปที่ 2.14 วงจรกรองสัญญาณไฟฟ้าความถี่ต่ำผ่าน Low Pass Filter



รูปที่ 2.15 วงจรกรองสัญญาณไฟฟ้าความถี่ต่ำผ่าน Low Pass Filter T-Type



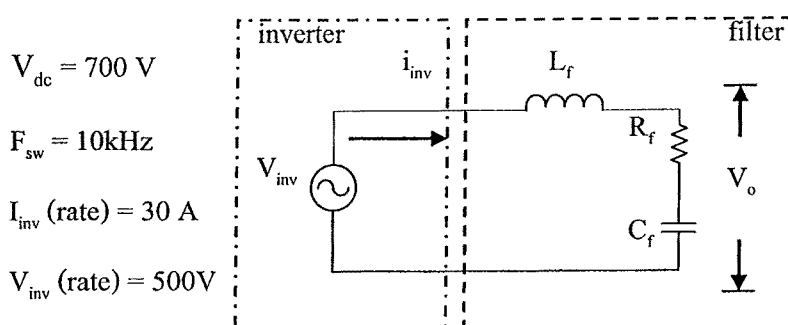
รูปที่ 2.16 วงจรกรองสัญญาณไฟฟ้าความถี่ต่ำผ่าน Low Pass Filter Pi-Type



รูปที่ 2.17 ช่วงเวลาทำงานของ Low Pass Filter

2.5 การออกแบบวงจรกรองสัญญาณความถี่ต่ำผ่าน(Low Pass Filter)

เพื่อให้ง่ายในการออกแบบและสามารถเขียนวงจรสมมูลได้ดังแสดงในรูปที่ 2.18 ซึ่งการออกแบบมีขั้นตอนดังนี้



รูปที่ 2.18 วงจรสมมูลของวงจรกรองที่ใช้ในการออกแบบ



2.5.1 กำหนดให้ค่ายอดของกระแสกระแสเพื่อมสูงสุด ที่ผ่านวงจรกรองมีค่าไม่เกิน 20 % ของกระแสไฟฟ้าอินเวอร์เตอร์ ซึ่งเป็นข้อกำหนดในการเลือกตัวหนี่ยวนำค่าน้อยที่สุดที่สามารถใช้งานได้ สามารถหาได้จากสมการที่ 2.12 โดยพิจารณาจากแรงดันขณะที่วัดจักรงาน (Duty cycle) 50 % ซึ่งจะมีค่ายอดของกระแสกระแสเพื่อมสูงสุด

$$L_f \geq \frac{V_{L_f}}{2\Delta i_{inv} f \lambda} \quad \dots \dots \dots 2.12$$

$$L_f \geq \frac{700}{2 \times 0.2 \times 30 \times \sqrt{2} \times 10 \times 10^3} = 4.1mH$$

กำหนดให้กระแสที่ออกจากอินเวอร์เตอร์เท่ากับ 30A ในการเลือกตัวหนีไฟนำค่ามากที่สุดที่สามารถใช้งานได้ ดังสมการที่ 2.13

$$\frac{V_{inv} - V_s}{2\pi f L_f} = 30A \quad 2.13$$

$$\text{โดยที่ } V_{\text{inv}} = \frac{700}{\sqrt{2}} \approx 495.05 \text{V}_{\text{rms}} \text{ และ } V_s = 380 \text{V}_{\text{rms}}$$

$$L_f \leq \frac{V_{inv} - V_s}{2\pi f \cdot 30}$$

2.5.2 กำหนดค่าความถี่รีโซแนนท์ ให้มีเท่ากับ 750 Hz ที่ตัวเหนี่ยวนำเท่ากับ 4.5 mH เพื่อคำนวณหาค่าตัวเก็บประจุ ดังสมการที่ 2.14

$$C \cdot 4.5 \text{mH} = \left(\frac{1}{2\pi \cdot 750 \text{Hz}} \right)^2 = 4.503 \times 10^{-8}$$

$$C_f = 10.01 \mu F$$



การวิเคราะห์และออกแบบชุดชาเย็นแรงดัน

ปรับปรุงการเกิดการเปลี่ยนแปลงแรงดันจากการผลิตกระเสื้อไฟฟ้าตัววัดกังหันลม

2.5.3 กำหนดค่า damping factor ให้มีค่าเท่ากับ 1 จากรูปที่ 2.8 สามารถเขียนอัตราส่วนระหว่างแรงดันด้านนอกกับแรงดันที่อินเวอร์เตอร์สร้างได้ดังสมการที่ 2.15

จากสมการที่ 2.4 สามารถหาค่า damping factor ได้ดังสมการ 2.16

$$\xi_f = \frac{R_f}{2} \sqrt{\frac{C_f}{L_f}} \quad 2.16$$

ଦିନମ୍ବ

2.5.4 กำหนดการลดทอนแรงดันกระเพื่อม ให้มีค่าไม่น้อยกว่า 15 เท่าที่ความถี่าร์มอนิก (10 kHz) และเมื่อแทนค่า R_f สมการที่ 2.17 ลงในสมการที่ 2.16 จะได้สมการที่ 2.18

$$\frac{V_o}{V_{inv}} = \frac{2\sqrt{C_f L_f} s + 1}{C_f^2 L_f s^2 + 2\sqrt{C_f L_f} s + 1} \quad 2.18$$

จากข้อกำหนดที่ 2.5.1 และ 2.5.2 เลือกค่าตัวหนึ่งนำของวงจรกรองเท่ากับ

$$L_f = 4.5\text{mH}$$

ดังนั้นจะได้ค่าตัวเก็บประจุของวงจรกรองเท่ากับ

$$C_f = 10 \mu F$$

และจากสมการที่ 2.5 แทนค่าตัวหนึ่งนำ (L_f) และตัวเก็บประจุ (C_f) จะได้ค่าตัวต้านทานของวงจรกรองเท่ากัน

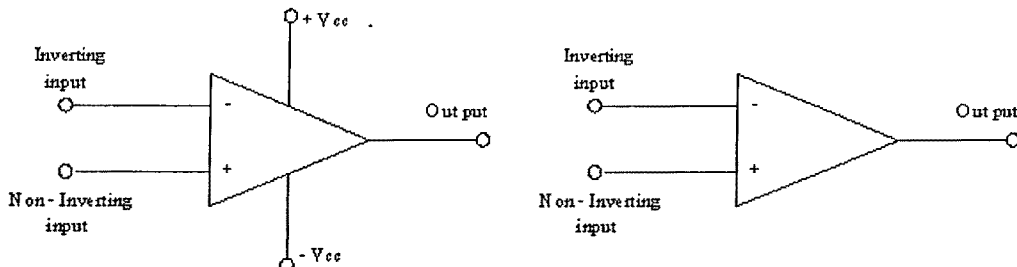
$$R_f = 7.07 \Omega$$

ดังนั้น เลือกใช้ $R_f = 23.5 \Omega$



2.6 Op-amp

อปปแอมป์ (Op - Amp) เป็นชื่อย่อสำหรับเรียกว่าจรรยาบยั่งจาก Operating Amplifier เป็นวงจรขยายแบบต่อตระ (Direct coupled amplifier) ที่มีอัตราการขยายสูงมากใช้การป้อนกลับแบบลบไปควบคุมลักษณะการทำงาน ทำให้ผลการทำงานของวงจรไม่ขึ้นกับพารามิเตอร์ภายในของอปปแอมป์ วงจรภายในประกอบด้วยวงจรขยายที่ต่ออนุกรมกัน ภาคคือวงจรขยายดิฟเฟอเรนเซียลค้านทางเข้างานวงจรขยายดิฟเฟอเรนเซียลภาคที่สอง วงจรเดือนระดับและวงจรขยายกำลังค้านทางออก สัญลักษณ์ที่ใช้แทนอปปแอมป์จะเป็นรูปสามเหลี่ยม ไอซ์อปปแอมป์ เป็นไอซ์ที่แตกต่างไปจากลิเนียร์ไอซ์ทั่วๆไปคือ ไอซ์อปปแอมป์มีขาอินพุท 2 ขา เรียกว่าขาเข้าไม่กลับเพลส (Non-Inverting Input) หรือ ขา + และขาเข้ากลับเพลส (Inverting Input) หรือขา - ส่วนทางค้านออกมีเพียงขาเดียว เมื่อสัญญาณป้อนเข้าขาไม่กลับเพลสสัญญาณทางค้านออกจะมีเฟสตรงกับทางค้านเข้า แต่ถ้าป้อนสัญญาณเข้าที่ขาเข้ากลับเพลส สัญญาณทางออกจะมีเฟสต่างไป 180 องศาจากสัญญาณทางค้านเข้า



รูปที่ 2.19 แสดงสัญลักษณ์อปปแอมป์

2.6.1 คุณสมบัติของอปปแอมป์ในทางอุดมคติ

- 2.6.1.1 อัตราขยายมีค่าสูงมากเป็นอนันต์หรือ อินฟินิตี้
- 2.6.1.2 อินพุตอิมพีเดนซ์มีค่าสูงมากเป็นอนันต์
- 2.6.1.3 เอาท์พุตอิมพีเดนซ์มีค่าต่ำมากเท่ากับศูนย์
- 2.6.1.4 ความกว้างของแบบดิวิต (Bandwidth) ในการขยายสูงมาก
- 2.6.1.5 สามารถขยายสัญญาณได้ทั้งสัญญาณ AC และ DC
- 2.6.1.6 การทำงานไม่ขึ้นกับอุณหภูมิ

เมื่อศึกษาคุณสมบัติของอปปแอมป์ในอุดมคติแล้ว พบว่าอปปแอมป์ได้รวมข้อดีของวงจรขยายไว้ได้อย่างครบถ้วน นั่น即จากมีอัตราขยายเป็นอนันต์และสามารถขยายสัญญาณได้ทั้งไฟกระแสสลับและไฟกระแสตรง การนำไปใช้งานในบางครั้งเมื่อต้องการลดอัตราขยายก็สามารถกระทำได้โดยการ ป้อนกลับ (Feed Back) เพื่อมาลดอัตราการขยายลง และข้อดีก็ประการ

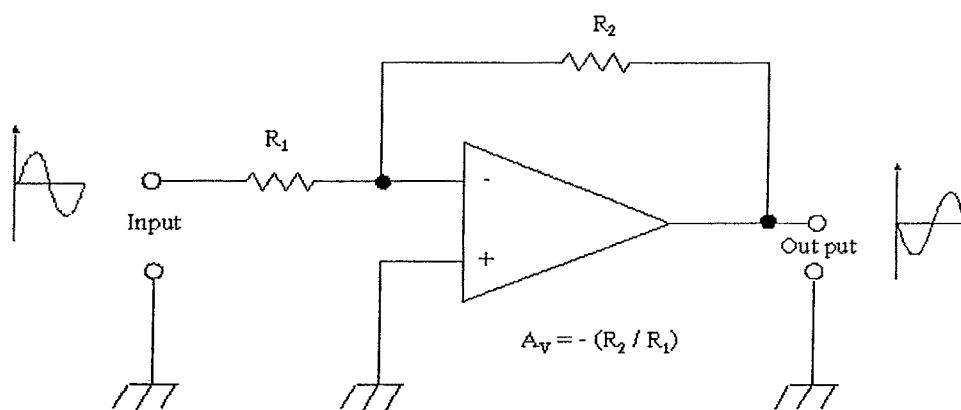


หนึ่งก็คือ อิมพีเดนซ์ทางอินพุทมีอิมพีเดนซ์สูงมาก จึงทำให้เหมือนไม่มีกระแสอินพุทไหลเลย ลักษณะเช่นนี้จึงทำให้วงจรทางอินพุท ไม่โหลดวงจรส่งกำลังในส่วนหน้า เนื่องเดียวกันที่อาจพูด มีอิมพีเดนซ์เป็นศูนย์สามารถนำໄปเข้ามต่อ กับวงจร อื่นได้ดี

2.6.2 วงจรขยายแบบกลับเฟส (Inverting Amplifier)

ในวงจรขยายของอปแอมป์นั้นสามารถที่จะกำหนดอัตราการขยายของวงจรได้โดยการใช้วงจรเนกานิฟีดแบค (Negative Feedback) เมื่อเราป้อนสัญญาณเข้าทางขากลับเพลส (ขา -) แรงดันด้านทางออกจะมีมุมเพลสต่างไปจากแรงดันทางเข้า 180 องศา ซึ่งมีลักษณะตรงข้ามสัญญาณตรงกันข้ามนี้จะถูกป้อนกลับผ่าน R2 เข้ามาอังชาอินเวอร์ต์ต์อีกครั้งหนึ่ง ตรงจุดนี้จะทำให้สัญญาณเกิดการหักล้างกันอัตราการขยายก็จะลดลง ถ้าตัวต้านทานที่เป็นตัวป้อนกลับมีค่ามากจะทำให้สัญญาณป้อนกลับมีขนาดเล็กอัตราการขยายของจึงสูง ถ้าตัวต้านทานที่ป้อนกลับมีค่าน้อยสัญญาณป้อนกลับไปได้มากอัตราการขยายก็จะลดลง จะนั้นอัตราส่วนของความต้านทาน R1 และ R2 จะเป็นตัวกำหนดอัตราการขยายของวงจร โดยไม่ขึ้นกับอัตราการขยายของอปแอมป์ซึ่งสามารถหาอัตราการขยายแรงดันได้จากสูตร

$$AV = -\frac{R_2}{R_1} \quad \dots \dots \dots 2.19$$



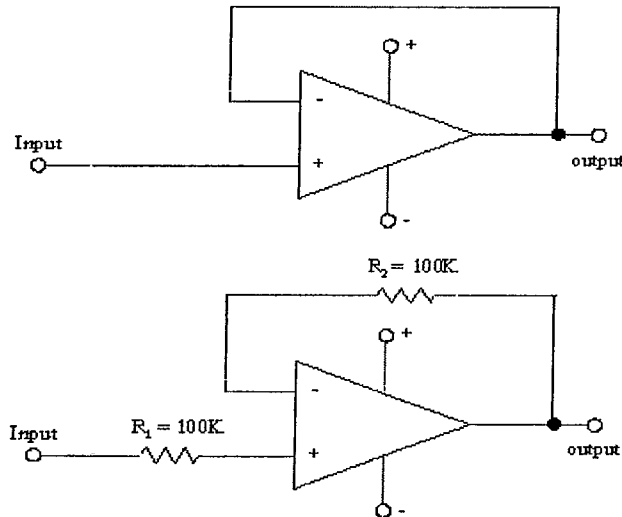
รูปที่ 2.20 วงจรขยายอปเพนซ์แบบกลับเฟส (Inverting Amplifier)

2.6.3 ວົງຈອນບັຟເພື່ອຮ້າ (Buffer)

วงจรบัฟเฟอร์หรือวงจรกันชน ใช้เป็นวงจรเชื่อมวงจรสองวงจรเข้าด้วยกัน เช่น ระบบไอซีที่ต่างตระกูลกันหรือทรานซิสเตอร์ที่ไม่แมทชิ่งอินพีเดนซ์กัน ก็จะมีวงจรที่จำเป็นต้องใช้บัฟเฟอร์



เพราะคุณสมบัติของอปฯเอนปีทางเอาท์พุทธอมพีเดนซ์ตា เมื่อ เชื่อมต่อ กับ วงจร อื่น แล้ว จะ ไม่ ทำให้ วงจร อื่น มี ผล แตก ต่าง ไป จาก เดิม วงจร บันฟเฟอร์นิช ว่า มี อัตรา การ ขยาย เท่า กัน 1



รูปที่ 2.21 วงศ์ธนบัฟเฟอร์

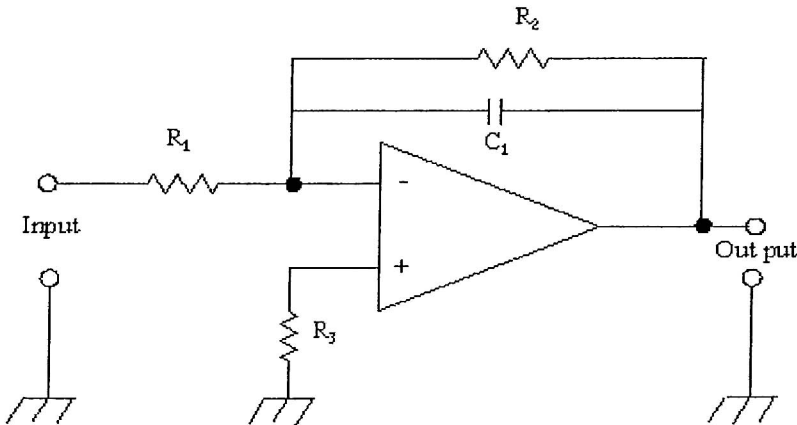
2.6.4 วงจรกรองสัญญาณความถี่ต่ำ (Low Pass Filter)

การใช้วงจรกรองแบบอาร์ซี (RC Filter) เข้ามานี้เป็นการที่ฟีดแบค (Negative Feedback) การขยายลัญญาณของอุปกรณ์จะกรองเอาความถี่เฉพาะบางความถี่ออกไปเท่านั้นซึ่ง สามารถทำความถี่ที่ใช้งานได้จากสูตร

และสามารถที่จะประยุกต์ใช้งานง่ายจนนี้ในวงจรกรองความถี่ต่างๆได้ เช่น ภาคกรองความถี่ ไอเอฟ วงจรดักจับความถี่ วงจรอัตโนมัติ เซลล์ และในเครื่องเสียงก็ยังใช้เป็นระบบแยกความถี่ของเครื่องขยายเสียง ไม่แอมป์และไตรแอมป์ ซึ่งวงจรแยกความถี่แบบนี้เป็นวงจรชั้นสูงขึ้นไป เราเรียกว่างรแยกความถี่ว่า “แอคตีฟฟิลเตอร์” (Active Filter) ซึ่งสามารถจัดวงจรแอคตีฟฟิลเตอร์ได้ดังรูปที่ 2.12



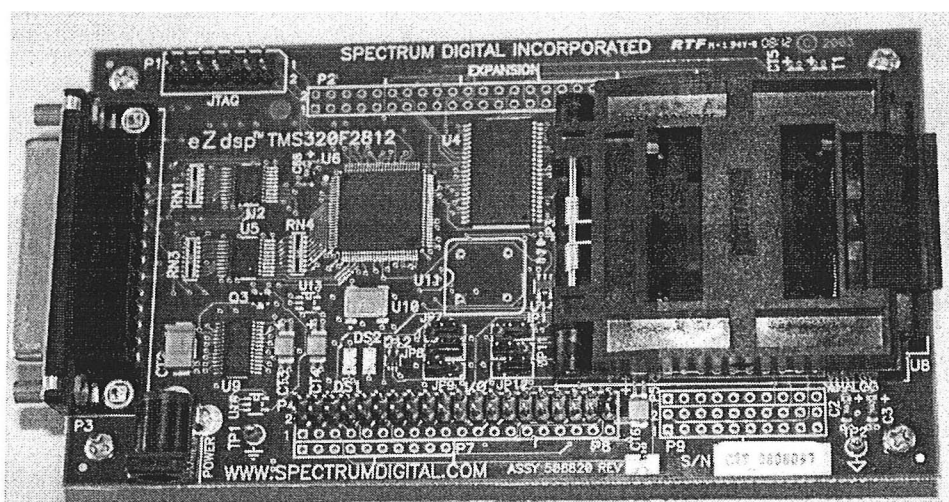
การวิเคราะห์และออกแบบบุคลากรช่าง
ปรับปรุงการเกิดการเปลี่ยนแปลงแรงดันจากการผลิตกระแสไฟฟ้าด้วยกังหันลม



รูปที่ 2.22 วงจรแอคทีฟฟิลเตอร์

2.7 ตัวประมวลผล (DSP board)

DSP(Digital Signal Processing) เป็นบอร์ดที่ใช้ควบคุมการสร้างกระแส เพื่อรักษาระดับแรงดันของระบบไฟฟ้าและรักษาระดับแรงดันบัสไฟตรงให้คงที่ โดยรับสัญญาณมาจาก ส่วนวัดกระแส ส่วนวัดแรงดัน AC และ ส่วนวัดแรงดัน DC จาก นั้นจะทำการประมวลผลตามที่โปรแกรมที่เขียนไว้ โดยมีการรับส่งสัญญาณจากตัวตรวจจับตลอดเวลา เมื่อเจอค่าแรงดันที่ผิดพร่องเกิดขึ้นในระบบตัวประมวลผลจะส่งสัญญาณผ่านชุดInterface เพื่อแปลงสัญญาณคำสั่งจากตัวประมวลผลเป็นสัญญาณสั่งงานให้ชุด IPM ทำงาน และลักษณะของบอร์ดังรูปที่ 2.23 และ 2.24 และคู่มือการใช้งาน DSP boardแสดงในภาคผนวก ค.



รูปที่ 2.23 รูปจริงของตัวบอร์ด DSP

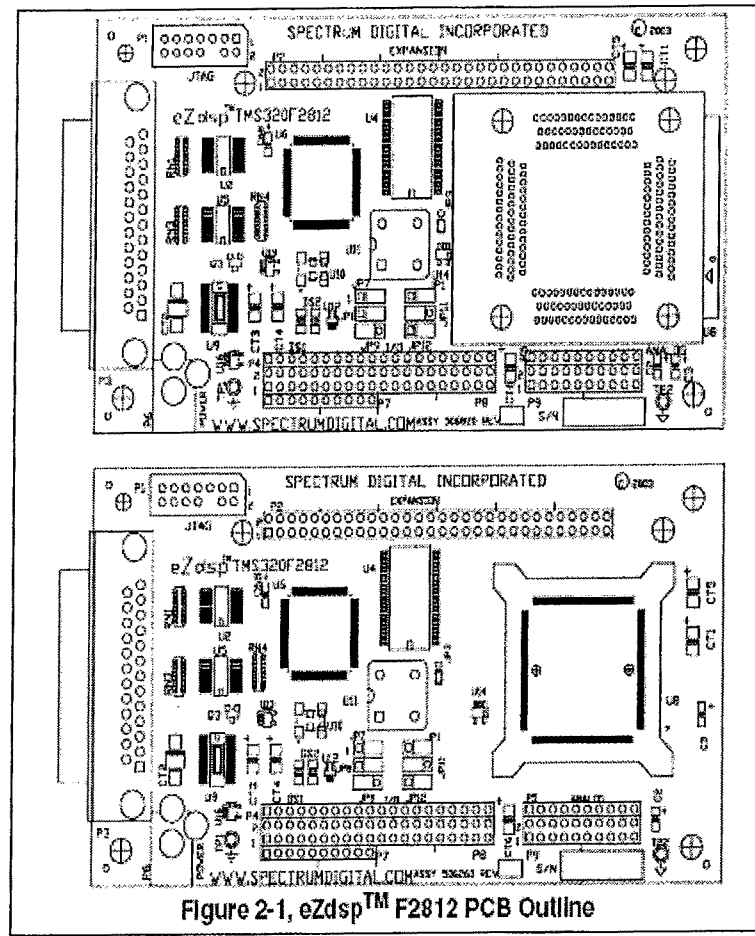


Figure 2-1, eZdsp™ F2812 PCB Outline

รูปที่ 2.24 ลักษณะล่างของบอร์ด DSP

2.8 การประมวลผลสัญญาณดิจิทัล

การประมวลผลดิจิทัลที่เรียกว่าโดยทั่วไปว่าดีอีสพี (DSP- digital signal processing) เป็นการศึกษาการประมวลผลสัญญาณที่อยู่ในรูปดิจิทัล (digital) โดยทั่วๆ ไป การ ประมวลผล สัญญาณ อาจแบ่งได้ตาม

2.8.1 รูปแบบของตัวแทนสัญญาณ

การประมวลผลสัญญาณดิจิทัล (digital signal processing) และ การประมวลผลสัญญาณแอนะล็อก (analog signal processing)

2.6.2 คุณสมบัติของสัญญาณ

การประมวลผลสัญญาณไม่สุ่ม (deterministic signal processing) และ การประมวลผลสัญญาณสุ่ม (stochastic/statistical signal processing)

2.6.2 ลักษณะการประมวลผลสัญญาณ

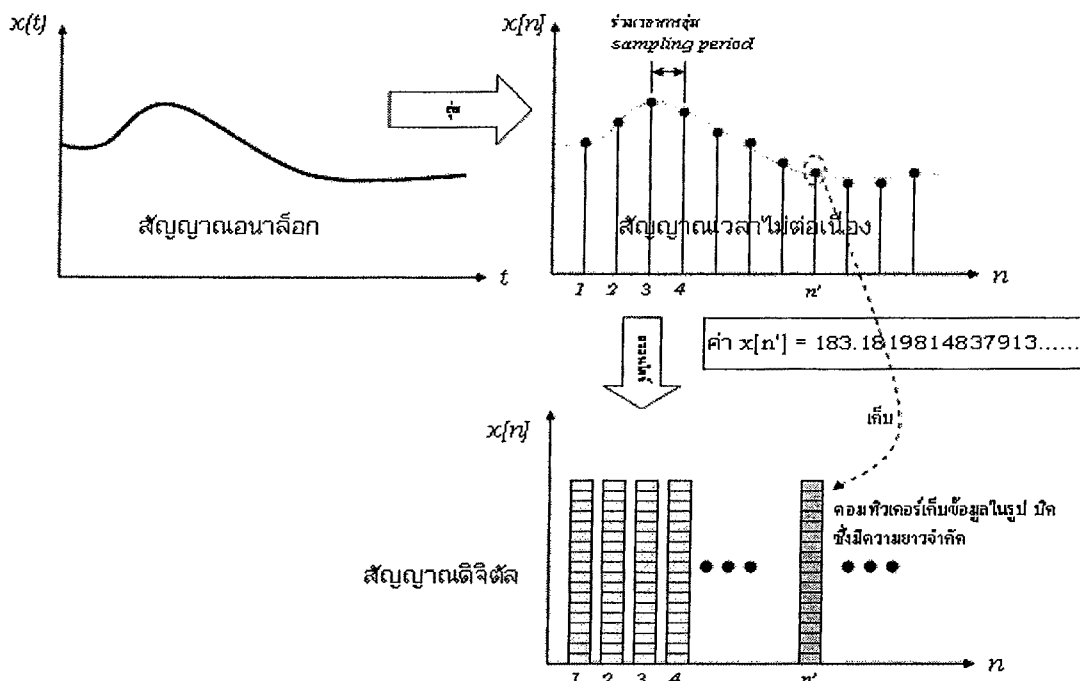
เชิงเส้น (linear signal processing) และ ไม่เป็นเชิงเส้น (nonlinear signal processing)



2.6.2 แบ่งตามคุณลักษณะเฉพาะของสัญญาณ

การแบ่งตามลักษณะเฉพาะของการประมวลผล เช่น adaptive signal processing, chaotic signal processing, multirate/multiresolution signal processing ฯลฯ

ดีเจอสพีนี้อาจแบ่งออกได้เป็นในส่วนของ ซอฟต์แวร์และฮาร์ดแวร์ หรือ ตามการประยุกต์ เป็น การประมวลผลสัญญาณเสียง (audio signal processing) การประมวลผลภาพดิจิทัล (digital image processing) และการประมวลผลคำพูด (speech processing) ถึงแม้ว่าในดีเจอสพีนี้ สัญญาณที่เราพิจารณา ก็จะเป็นดิจิทัล แต่โดยทั่วไปสัญญาณเหล่านี้จะมาจากแหล่งกำเนิดจะอยู่ในรูปเดิมที่เป็น อะนาล็อก การได้มาซึ่งสัญญาณดิจิทัลซึ่งเป็นตัวแทนสัญญาณแอนะล็อกที่เราสนใจนี้จะต้องผ่านกระบวนการแปลงสัญญาณแอนะล็อกเป็นดิจิทัล (Analog-to-Digital Conversion - ADC) หรือการดิจิไท์ (digitization) ซึ่งประกอบด้วยการสุ่มตัวอย่าง (sampling) (อย่างสับสนกับคำว่า สุ่ม ที่มาจากการ random หรือ stochastic) และการค่อนน้ำหนัก (quantization) ให้อยู่ในรูปดิจิทัลก่อนที่จะทำการประมวลผลต่อไป



รูปที่ 2.25 แสดงกระบวนการซักตัวอย่างสัญญาณและค่อนน้ำหนัก



2.9 ระบบส่งกำลังไฟฟ้าด้วยไทรอนิกส์ (FACTS: Flexible ac transmission systems)

นิยามของระบบส่งจ่ายกำลังไฟฟ้าด้วยไทรอนิกส์ ได้ตามมาตรฐาน IEEE(Intitute of Electrical and Electronics Engineers) หมายถึงระบบส่งจ่ายกำลังไฟฟ้าที่รวมอุปกรณ์อิเล็กทรอนิกส์กำลังเข้ากับอุปกรณ์ควบคุมแบบสถิต (static controller devices) อย่างอื่น เพื่อเพิ่มขีดความสามารถและส่งเสริมการควบคุมการส่งกำลังไฟฟ้าผ่านสายส่ง ความสามารถหลักของอุปกรณ์คือ การชดเชยกำลังไฟฟารีแอกทิฟ การควบคุมแรงดันไฟฟ้า และการควบคุมการไหลของกำลังไฟฟ้าจริงและกำลังไฟฟารีแอกทิฟ อุปกรณ์ชนิดนี้สามารถควบคุมได้อย่างรวดเร็วเมื่อเปรียบเทียบกับอุปกรณ์ชดเชยอย่างเดิม เช่น คาปิซิเตอร์เบนก์ รีแอกเตอร์ร์บานาน และซิงโกรนัสคอนเดนเซอร์ ระบบส่งจ่ายกำลังไฟฟ้าด้วยไทรอนิกส์ ได้สามารถทำงานได้หลายฟังก์ชันในระบบไฟฟ้ากำลัง เช่น ทำหน้าที่ลดการแกว่งของกำลังไฟฟ้า และสามารถทำงานร่วมกับการควบคุมระดับสูงของระบบไฟฟ้ากำลัง ได้ระบบส่งจ่ายกำลังไฟฟ้าด้วยไทรอนิกส์ ได้เป็นที่ยอมรับในการพัฒนาระบบส่งจ่ายกำลังไฟฟ้าในปัจจุบัน ซึ่งสามารถเพิ่มขีดความสามารถในการส่งจ่ายกำลังไฟฟ้า ส่งเสริมเสถียรภาพทั้งแบบสถิตและแบบพลวัต และนอกจากนี้ยังสามารถลดกำลังไฟฟ้าสูญเสียในสายส่ง ได้อีกด้วย ด้วยเหตุนี้ระบบส่งจ่ายกำลังไฟฟ้าด้วยไทรอนิกส์ ได้ถูกติดตั้งเข้าไปในระบบเพิ่มมากขึ้นในทุกๆ ปี โดยทั่วไปแล้วระบบส่งจ่ายกำลังไฟฟ้าด้วยไทรอนิกส์ ได้สามารถจำแนกออกตามโครงสร้าง ได้ดังนี้

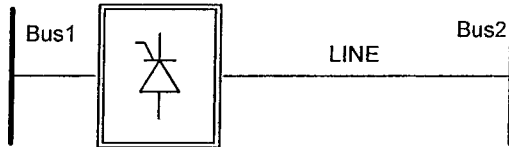
2.9.1 ตัวควบคุมแบบอนุกรม

ตัวควบคุมแบบอนุกรม(series controller) จะต่ออนุกรมกับสายส่งดังแสดงในรูปที่ 2.26 (ก) อุปกรณ์จำพวกนี้อาจเรียกได้ว่า เป็นอิมพีเดนซ์ที่เปลี่ยนแปลงค่าได้ ซึ่งอาจเป็นได้ทั้งคาปิซิทิฟ รีแอกทิฟหรือบางครั้งอาจเรียกว่าแหล่งจ่ายอิเล็กทรอนิกส์กำลังที่เปลี่ยนแปลงค่าได้ การทำงานหลักของอุปกรณ์ที่ต่อในลักษณะนี้จะเป็นการฉีดแรงดันที่อนุกรมกับสายส่ง การทำงานของอุปกรณ์ตัวควบคุมแบบอนุกรม จึงเหมือนกับเป็นอุปกรณ์ที่สามารถเปลี่ยนแปลงค่ารีแอกแตนซ์ของสายส่ง ได้จุดประสงค์หลักของอุปกรณ์นี้คือการควบคุมการไหลของกระแสไฟฟ้าในสายส่ง หรือกล่าวอีกนัยหนึ่งคือการควบคุมกำลังไฟฟ้าที่ไฟฟ้าผ่านสายส่ง โดยการเปลี่ยนแปลงรีแอกแตนซ์ของสายส่งนั่นเอง ตัวอย่างหนึ่งของอุปกรณ์ในจำพวกตัวควบคุมแบบอนุกรมคือตัวชดเชยอนุกรมควบคุมด้วยไทริสเตอร์ (TCSC:Thyristor-Controlled Series Capacitor) วงจรพื้นฐาน TCSC ประกอบด้วยคาปิซิเตอร์อนุกรม และรีแอกเตอร์ควบคุมด้วยไทริสเตอร์ต่อขนาดกันดังแสดงในรูปที่ 2.26 (ก) TCSC จะต่ออนุกรมกับสายส่ง เพื่อควบคุมการไหลของกำลังไฟฟ้าโดยการเปลี่ยนแปลงค่ารีแอกแตนซ์อนุกรมนี้ นอกจากนี้ตัวชดเชยอนุกรมแบบสถิต(SSSC:Static Synchronous Series Compensator) เป็นอุปกรณ์หนึ่งที่สำคัญในจำพวกของตัวควบคุมแบบอนุกรม โดยส่วนใหญ่แล้วการทำงานของ SSSC อาศัยหลักการของตัวเปลี่ยนผันเหล่งจ่ายแรงดัน (VSC :Voltage sourced

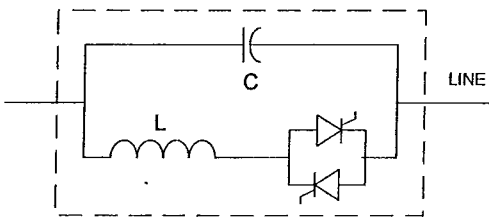


การวิเคราะห์และออกแบบบัญชีด้วยเร่งดัน
ปรับปรุงการเกิดการเปลี่ยนแปลงแรงดันจากการผลิตกระแสไฟฟ้าด้วยกังหันลม

converter) ซึ่งจะต่ออนุกรมกับสายส่งผ่านหม้อแปลงอนุกรมซึ่งมีโครงสร้างดังแสดงในรูปที่ 2.26 (ก) แรงดันที่ถูกผลิตขึ้นโดย SSSC นี้จะถูกจัดเข้าไปในสายส่งโดยผ่านหม้อแปลงอนุกรมเพื่อชดเชยแรงดันที่ตกคร่อมในสายส่ง และนอกจากนี้อุปกรณ์ SSSC ยังสามารถใช้ควบคุมการไหลของกำลังไฟฟ้าในสายส่งได้อีกด้วย

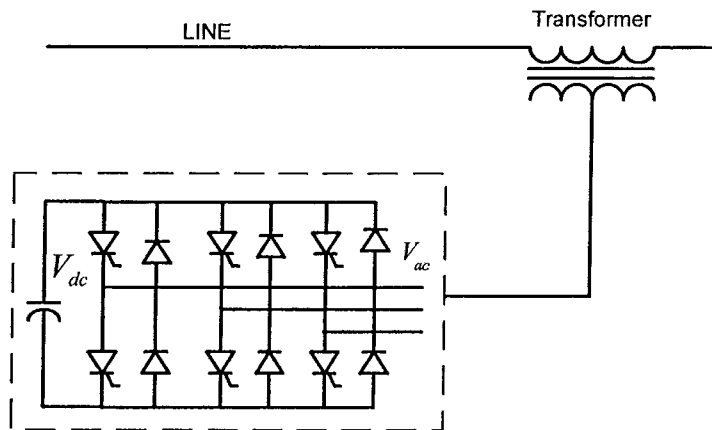


(ก) ลักษณะการเชื่อมต่อตัวควบคุมแบบอนุกรมกับระบบ



(ข) ตัวชดเชยอนุกรมควบคุมด้วยไทริสเตอร์

รูปที่ 2.26 โครงสร้างของตัวควบคุมแบบอนุกรม



(ก) ตัวชดเชยอนุกรมแบบแบบสติต

รูปที่ 2.26 (ต่อ) โครงสร้างของตัวควบคุมแบบอนุกรม

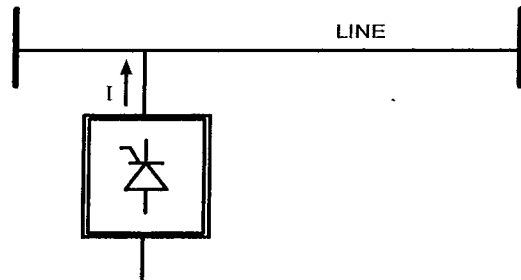
2.9.2 ตัวควบคุมแบบขานาน

ตัวควบคุมแบบขานาน(shunt controller) จะต้องนานกับระบบที่บังเสื่อมต่อดังแสดงในรูปที่ 2.27 (ก) อุปกรณ์ชนิดนี้อาจมองว่าเป็น อินพีเดนซ์หรือแหล่งจ่ายที่เปลี่ยนแปลงค่าได้ หรือบางครั้งอาจเป็นทั้งสองอย่างพร้อมกัน หลักการทำงานทั่วไปของอุปกรณ์จำพวกตัวควบคุมแบบขานาน

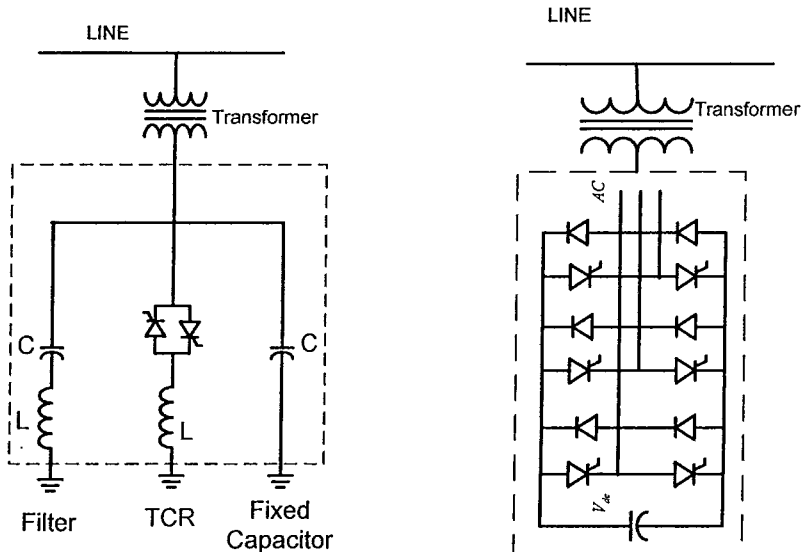


การวิเคราะห์และออกแบบชุดดัดแปลงแรงดัน
ปรับปรุงการเกิดการเปลี่ยนแปลงแรงดันจากการผลิตกระแสไฟฟ้าด้วยกังหันลม

ทั้งหมดจะเป็นอุปกรณ์ที่ใช้สำหรับรักษาแรงดันบน ๆ จุดที่เชื่อมต่อโดยขาขึ้นหลักการนี้คือ หรือดึงกระแสออกที่ฟีฟายอย่างเดียว แต่ในบางกรณีอาจต้องการทั้งกระแสออกที่ฟีฟายและกระแส จริงเพื่อผลของการควบคุมแรงดันที่ดีขึ้นและเพื่อลดการแกว่งของแรงดัน ตัวดัดแปลงกำลังรีแอกทีฟ แบบสติติ (SVC) เป็นหนึ่งในอุปกรณ์จำพวกของตัวควบคุมแบบขนาด โดยทั่วไป SVC ประกอบด้วยตัวรีแอกเตอร์ที่ควบคุมด้วยไทริสเตอร์ (TCR) ต่อขานกับคาปซิเตอร์ที่กำหนดค่าคงที่ (FC) หรืออาจต่อขานกับคาปซิเตอร์สวิตช์ด้วยไทริสเตอร์ (TSC) ดังแสดงในรูปที่ 2.27 (ข) นอกจากนี้อุปกรณ์ที่สำคัญอีกตัวหนึ่งของอุปกรณ์ในจำพวกของตัวควบคุมแบบขนาด คือตัวดัดแปลงแบบสติติ หรือที่นิยมเรียกว่า D-STATCOM ซึ่งการทำงานอาศัยหลักการของตัวแปลงผันแปรล่งจ่ายแรงดัน เช่นเดียวกันกับ SSSC แต่จะแตกต่างกันตรงที่จะเชื่อมต่อแบบขนาดเข้ากับระบบไฟฟ้าที่บัสเชื่อมต่อดังแสดงในรูปที่ 2.27 (ค)



(ก) ลักษณะการเชื่อมต่อตัวควบคุมแบบขนาดเข้ากับระบบ



(ข) ตัวดัดแปลงกำลังรีแอกทีฟแบบสติติ

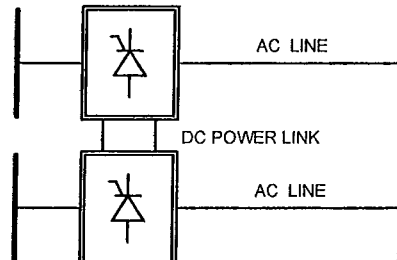
(ค) ตัวดัดแปลงแบบสติติ

รูปที่ 2.27 โครงสร้างของตัวควบคุมแบบขนาด

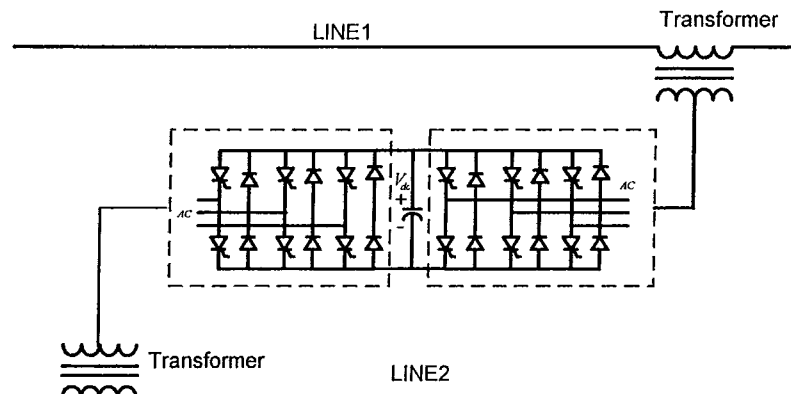


2.9.3 ตัวควบคุมแบบผสม

ก. **ตัวควบคุมแบบผสมอนุกรม-อนุกรม (combined series-series controller)** เป็นอุปกรณ์ที่รวมอุปกรณ์ตัวควบคุมแบบอนุกรมที่แยกกันอยู่เข้าด้วยกัน โดยการควบคุมอุปกรณ์ตัวควบคุมแบบอนุกรมที่ติดตั้งบนสายส่งแต่ละเส้นร่วมกัน บางครั้งเรียกอุปกรณ์นี้ว่าตัวควบคุมแบบรวม ดังแสดงในรูปที่ 2.28 (ก) จากรูปอุปกรณ์ตัวควบคุมแบบอนุกรมแต่ละตัวจะชดเชยกำลังไฟฟ้ารีแอคทีฟสำหรับสายส่งแต่ละเส้นแยกอิสระจากกัน แต่จะส่งกำลังไฟฟ้าจริงถึงกันโดยผ่านสายส่งบัสไฟฟ้ากระแสตรง (dc power link) ที่เชื่อมต่อถึงกัน ตัวควบคุมการให้กำลังไฟฟาระหว่างสาย (interline power flow controller: IPFC) เป็นอุปกรณ์ที่นำเสนอด้วยวิธีใหม่ของอุปกรณ์ระบบส่งจ่ายกำลังไฟฟ้าด้วยไบเพาล์ ได้ที่อยู่ในลำพวกของตัวควบคุมแบบผสมอนุกรม-อนุกรม เพื่อใช้ควบคุมการให้กำลังไฟฟ้าในสายส่งหลายเส้น IPFC ประกอบด้วย SSSC สองตัวที่ต่ออนุกรมกับสายส่งแต่ละเส้น แต่จะเชื่อมต่อกันโดยผ่านระบบเชื่อมต่อกระแสตรงเพื่อส่งผ่านกำลังไฟฟ้าจริงซึ่งกันและกัน โครงสร้างของ IPFC แสดงไว้ในรูปที่ 2.28 (ข) จากรูป SSSC แต่ละตัวจะต่อ กับสายส่งที่แตกต่างกัน โดยผ่านหม้อแปลงอนุกรมซึ่งแต่ละตัวจะทำการควบคุมการชดเชยกำลังรีแอคทีฟแยกอิสระจากกัน



(ก) ลักษณะการเชื่อมของตัวควบคุมแบบผสมอนุกรม-อนุกรมเข้ากับระบบ

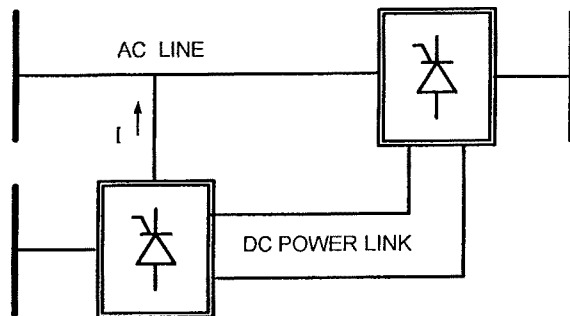


(ข) ตัวควบคุมการให้กำลังไฟฟาระหว่างสาย

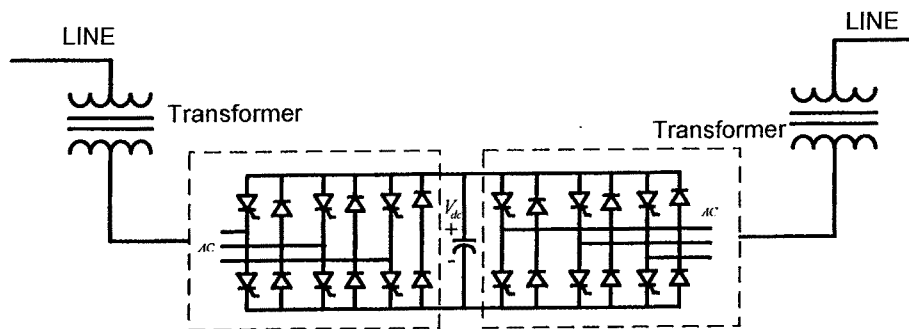
รูปที่ 2.28 โครงสร้างของตัวควบคุมแบบผสมอนุกรม - อนุกรม



ข. ตัวควบคุมแบบผสมอนุกรม-ขนาน (combined series-shunt controller) เป็นอุปกรณ์ที่รวมอุปกรณ์ตัวควบคุมแบบอนุกรมและตัวควบคุมแบบขนานเข้าด้วยกัน โดยการควบคุมอุปกรณ์ทั้งสองร่วมกัน หรือที่เรียกว่าตัวควบคุมการให้กำลังไฟฟ้าแบบรวม (UPFC) ซึ่งมีลักษณะการเชื่อมต่ออุปกรณ์นี้กับระบบดังแสดงรูปที่ 2.29(ก) อุปกรณ์นี้จะใช้ตัวควบคุมแบบขนานควบคุมแรงดันร้อน ๆ บุค เชื่อมต่อและตัวควบคุมแบบอนุกรมจะทำหน้าที่ควบคุมการให้ของกำลังไฟฟ้าในสายส่งนั้น อย่างไรก็ตามเมื่อตัวควบคุมแบบอนุกรมและแบบขนานถูกรวบเข้าด้วยกันอุปกรณ์ทั้งสองจะแยกเปลี่ยนกำลังไฟฟ้าจริงซึ่งกันและกันผ่านสายส่งกำลังไฟฟ้ากระแสตรงที่เชื่อมต่อ กัน ตัวควบคุมการให้กำลังไฟฟ้าแบบรวมเป็นอุปกรณ์หนึ่งในจำพวกของตัวควบคุมแบบผสมอนุกรม-ขนาน ซึ่งเป็นการรวมเอาข้อดีของ STATCOM และ SSSC มาทำงานร่วมกัน โดยในส่วนของ STATCOM จะทำหน้าที่รักษาระดับแรงดันร้อน ๆ บุค เชื่อมต่อและในขณะที่ SSSC ทำหน้าที่ควบคุมกำลังไฟฟ้าที่ให้ผ่านสายส่ง อุปกรณ์ทั้งสองตัวนี้จะเชื่อมต่อเข้าด้วยกันผ่านระบบเชื่อมต่อกระแสตรงเพื่อแยกเปลี่ยนกำลังไฟฟ้าจริงซึ่งกันและกัน โครงสร้างของ UPFC ดังแสดงในรูปที่ 2.29 (ข)



(ก) ลักษณะการเชื่อมต่อตัวควบคุมแบบผสมอนุกรม-ขนานกับระบบ



(ข) ตัวควบคุมการให้กำลังไฟฟ้าแบบรวม

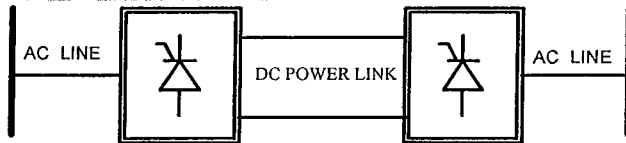
รูปที่ 2.29 โครงสร้างของตัวควบคุมแบบผสมอนุกรม - ขนาน



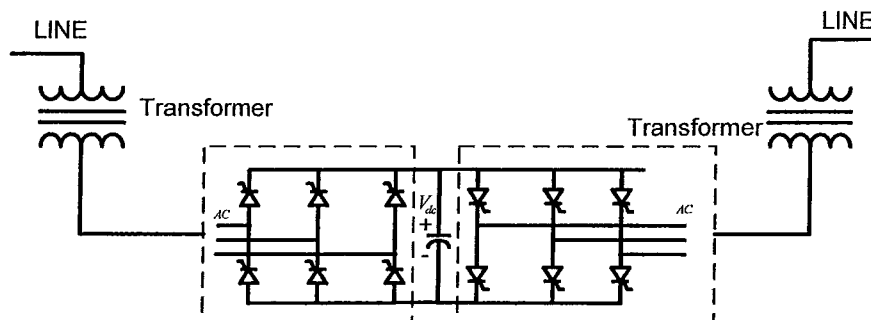
ค. ตัวควบคุมแบบผสมขนาด - ขนาด(combined shunt-shunt controller) ประกอบด้วยตัวควบคุมที่ต่อขานานกับระบบไฟฟ้าสองตัวและเชื่อมต่อกันด้วยสายส่งกำลังไฟฟ้ากระแสตรง ลักษณะการเชื่อมต่ออุปกรณ์นี้กับระบบดังแสดงในรูปที่ 2.30 (ก) ในสายส่งกำลังไฟฟ้ากระแสตรงนี้จะส่งผ่านเฉพาะกำลังไฟฟ้าจริงเท่านั้น ในส่วนกำลังไฟฟ้าเรียกที่จะแยกเปลี่ยนกันระหว่าง ตัวคอนเวอร์เตอร์กับระบบไฟฟ้าดังนี้ ตัวควบคุมแบบขนาดสามารถส่งกำลังไฟฟ้าจริงไปยังตัวควบคุมอีกด้านหนึ่งได้โดยการส่งผ่านสายส่งกำลังไฟฟ้ากระแสตรง ระบบส่งกำลังไฟฟ้าแรงสูงกระแสตรง (HVDC) ถูกจัดให้เป็นหนึ่งในอุปกรณ์ระบบส่งจ่ายกำลังไฟฟ้าขีดหยุ่นได้ที่มีตัวแปลงผันทั้งสองตัวต่อขานานกับระบบไฟฟ้าดังแสดงในรูปที่ 2.30 (ข) จากรูปด้วยแปลงผัน ทั้งสองของ HVDC จะใช้ไทริสเตอร์เป็นอุปกรณ์ทำงาน ตัวแปลงผันทั้งสองตัวจะถูกเชื่อมต่อกันด้วยสายส่งกำลังไฟฟ้ากระแสตรง ซึ่งอาจจะยาวเพียงไม่กี่เมตรหรืออาจเป็นหลายร้อยกิโลเมตรก็ได้ ตัวแปลงผันที่สถานีส่งจะทำหน้าที่เป็นสถานีเรียงกระแส ในขณะที่สถานีรับจะทำหน้าที่เป็นสถานีอินเวอร์เตอร์ โดยทั่วไปแล้วระบบส่งจ่ายกำลังไฟฟ้ากระแสจะทำการควบคุมการให้แสงของ กำลังไฟฟ้าที่สถานีเรียงกระแส ในส่วนของสถานีอินเวอร์เตอร์จะกำหนดให้ทำงานที่มุ่งจุดช่วง สูงสุดและที่แรงดันกำหนด ปัจจุบันระบบส่งจ่ายกำลังไฟฟ้ากระแสที่มีตัวแปลงผันแบบไทริสเตอร์ยังคงมีใช้งานอย่างแพร่หลายในระบบที่มีกำลังไฟฟ้าสูงในย่านหลายร้อย MW ข้อดีของระบบส่งจ่ายกำลังไฟฟ้ากระแสตรงคือ มีประสิทธิภาพและมีความมั่นคงสูง แต่ย่างไรก็ตามระบบส่งจ่ายกำลังไฟฟ้ากระแสตรงยังมีข้อเสียคือ มีกระแสสารมอนิกทั้งทางด้านกระแสสลับและกระแสตรง นอกจากนี้การนำระบบส่งจ่ายกำลังไฟฟ้ากระแสตรงไปเชื่อมต่อกับระบบไฟฟ้ากระแส สลับที่อ่อนแอ อาจได้รับผลกระทบจากการเกิดความผิดพร่องของการสับเปลี่ยนการนำกระแสใน อุปกรณ์ไทริสเตอร์ ความผิดพร่องนี้เกิดขึ้นที่สถานีอินเวอร์เตอร์เมื่อแรงดันไฟฟ้ากระแสสลับมี ความผิดเพี้ยนหรือเมื่อเกิดแรงดันไฟฟ้าตก ซึ่งความผิดพร่องนี้อาจส่งผลกระทบต่อการทำงานของ ระบบส่งจ่ายกำลังไฟฟ้ากระแสตรงได้ อย่างไรก็ตามปัญหานี้แก้ไขได้โดยการนำอุปกรณ์สวิตช์ กำลังหยุดนำกระแสเดrückตัวเอง มาใช้งานแทนอุปกรณ์ไทริสเตอร์ ดังนั้นปัจจุบันจึงได้มีการนำ อุปกรณ์ขั้วพวก GTO และ IGBT มาใช้งานเป็นตัวแปลงผันในระบบส่งจ่ายกำลังไฟฟ้ากระแสตรง ซึ่งเรียกว่า ระบบส่งจ่ายกำลังไฟฟ้ากระแสแบบเบา (HVDC-Light) โดยส่วนใหญ่ตัวแปลงผัน เหล่านี้จะเป็นตัวแปลงผันแหล่งจ่ายแรงดันดังแสดงในรูปที่ 2.30 (ค) ข้อดีของตัวแปลงผันแบบนี้คือ มีสารมอนิกดีกว่าแบบเดิม และยังสามารถควบคุมตัวประกอบกำลังไฟฟ้าได้ นอกจากนี้ยังสามารถ รักษาการทำงานในสภาวะเกิดความผิดพร่องทางด้านกระแสสลับได้อีกด้วย



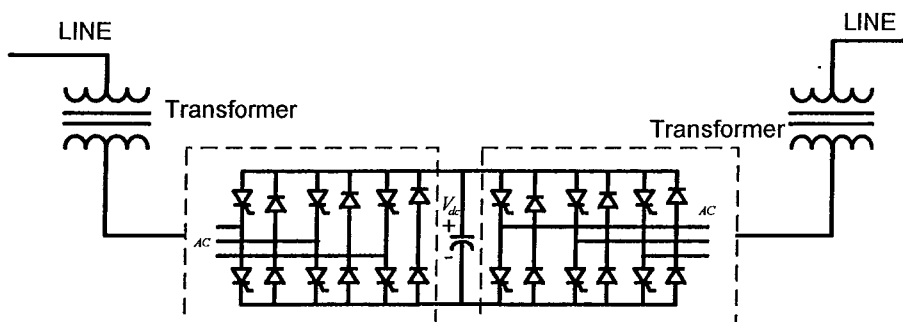
การวิเคราะห์และออกแบบชุดชดเชยแรงดัน
ปรับปรุงการเกิดการเปลี่ยนแปลงแรงดันจากการผลิตกระแสไฟฟ้าด้วยกังหันลม



(ก) ลักษณะการเชื่อมต่อตัวควบคุมแบบผสมขานาน-ขานานกับระบบ



(ข) ระบบส่งกำลังไฟฟ้าแรงสูงกระแสตรง



(ค) ระบบส่งกำลังไฟฟ้าแรงสูงกระแสตรงแบบเบา

รูปที่ 2.30 โครงสร้างของตัวควบคุมแบบผสมขานาน - ขานาน

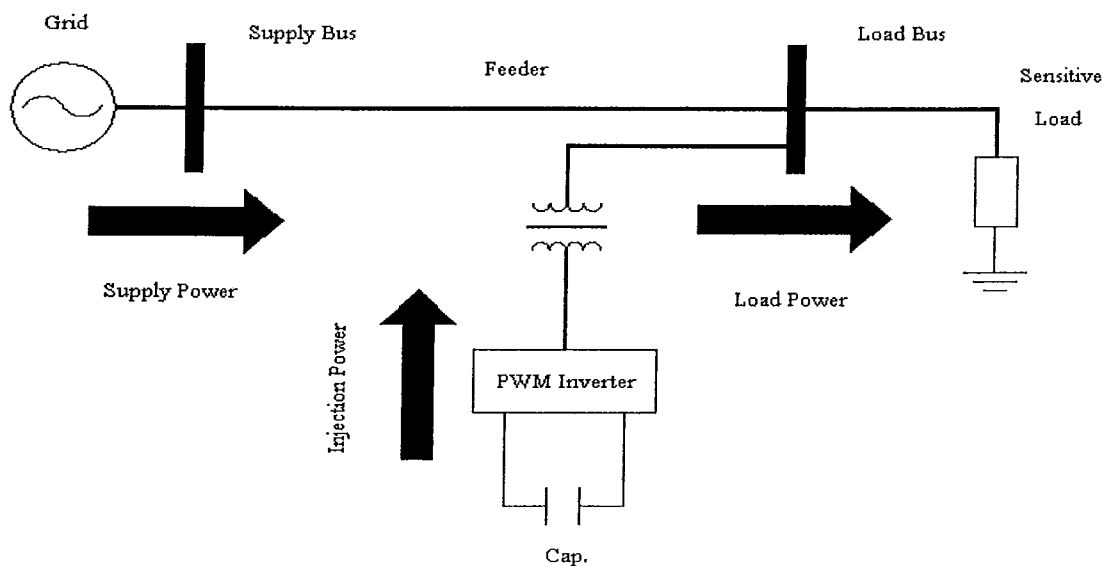
โดยทั่วไปตัวควบคุมแบบขานานจะถูกออกแบบเพื่อควบคุมแรงดันที่บัสที่เชื่อมต่อ ซึ่งจะผลิตกระแสไฟฟ้าสู่ระบบไฟฟ้าเพื่อรักษาระดับแรงดันให้ได้ตามที่ต้องการ ในขณะที่ตัวควบคุมแบบอนุกรมจะมีประสิทธิภาพในการควบคุมการให้หลอดกระแส หรือการให้หลอดกำลังไฟฟ้าในสายส่ง เนื่องจากสามารถจัดเร่งดันเพื่อชดเชยแรงดันที่ตกคร่อมอิมพีเดนซ์สายส่งได้ จึงเป็นเหตุให้ตัวควบคุมแบบอนุกรมสามารถควบคุมการให้หลอดกำลังไฟฟ้าได้เป็นอย่างดี อย่างไรก็ตามในกรณีที่แรงดันตกคร่อมที่สายส่งมีมากทำให้เกิดแรงดันตกที่บัส ตัวควบคุมแบบอนุกรมสามารถรักษาระดับแรงดันที่บัสได้เช่นกัน



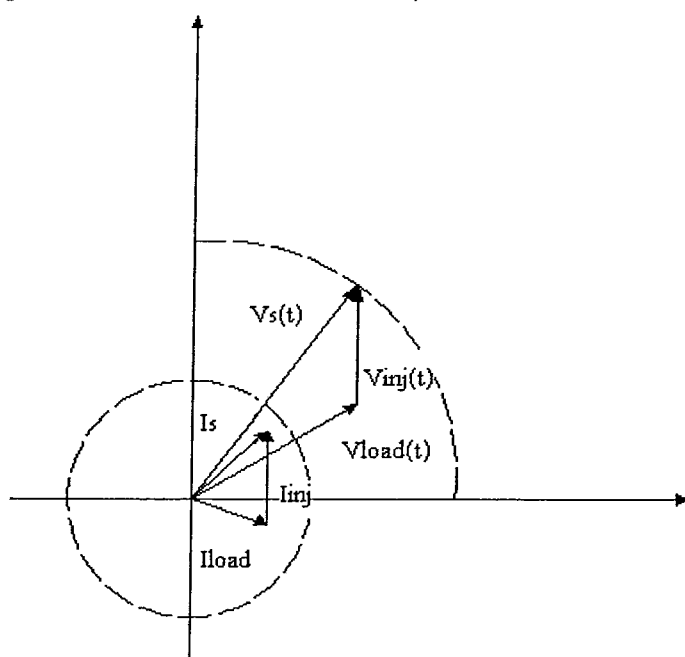
2.10 หลักการการชดเชยแรงดันและการจำลองชุดชดเชยแรงดันไฟฟ้าแบบสติติค

2.10.1 หลักการชดเชยแรงดันแบบสติติค(D-STATCOM)

การทำงานชุดควบคุมการชดเชยแรงดัน จะทำการควบคุมกระแสเพื่อรักษาแรงดันระบบไฟฟ้ากำลัง เพื่อควบคุมค่ายอดแรงดันความถี่และเฟสที่จุดต่อกริด (Grid) เพื่อทำให้แรงดันที่โหลดได้รับแรงดันเท่ากับแรงดันมาตรฐาน โครงสร้างการทำงานของอุปกรณ์ชดเชยแรงดันแบบบานานแสดงได้ดังรูปที่ 2.31 ซึ่งประกอบด้วยคอนเวอร์เตอร์ วงจรกรองแรงดัน หม้อแปลง และแหล่งเก็บสะสมพลังงาน



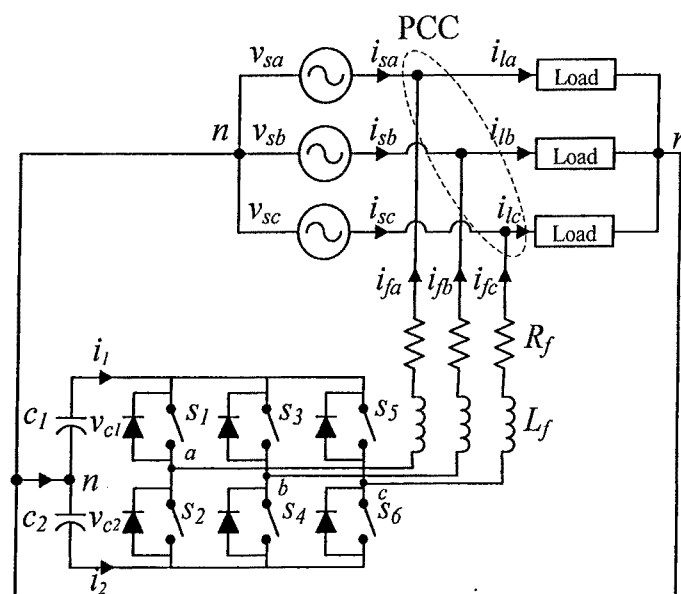
รูปที่ 2.31 โครงสร้างเดียวของชุดชดเชยแรงดันแบบบานาน



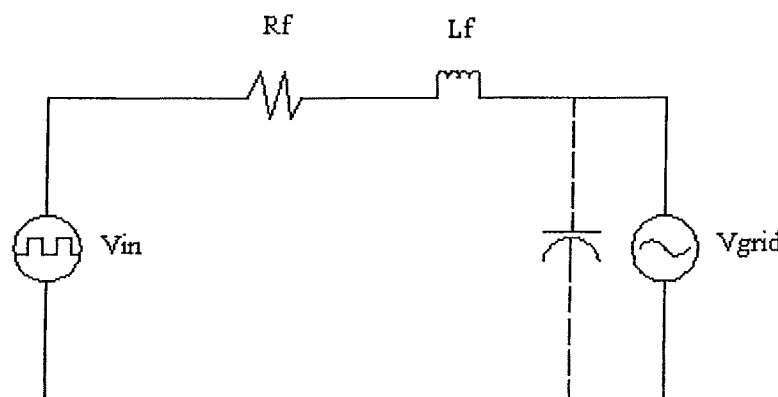
รูปที่ 2.32 เฟสเซอร์แสดงกระบวนการชดเชยแรงดันที่กริด



จากรูปที่ 2.31 แสดงวงจรอุปกรณ์ชดเชยแรงดันแบบบานาน ซึ่งสามารถเปรียบเสมือนเป็นแหล่งจ่ายแรงดันที่สามารถควบคุมค่าจ่ายด้วยความถี่และเฟสได้ โดยปกติจะใช้ชุดชดเชยแรงดันต่อกันชั้วคลื่น เมื่อการพิจารณาถึงการควบคุมแรงดันต่อกันชั้วคลื่นแล้ว การตรวจจับมีความจำเป็นมาก เพราะต้องมีการเฝ้าระวังอยู่ตลอดเวลา เราไม่รู้ว่าแรงดันจะเมื่อเวลาใด รูปที่ 2.32 แสดงเฟสเซอร์ของแรงดันและกระแส เมื่อเกิดการผิดพร่องเกิดขึ้น องค์ประกอบของแรงดันและกระแส จะเปลี่ยนแปลง ดังนั้นจำเป็นต้องให้อุปกรณ์ชดเชยแรงดันแบบบานานสร้างแรงดันเท่ากับแรงดันส่วนที่หายไป



รูปที่ 2.33 วงจรการต่อชุดชดเชยแรงดันบานานเข้ากับระบบจำหน่ายไฟฟ้า



รูปที่ 2.34 วงจรเที่ยงเดียงการชดเชยแรงดันเข้ากับระบบจำหน่ายไฟฟ้า

จากราชการ วารุณี ศรีสังคม, และคณะ [5] จะได้สมการการตรวจจับแรงดันด้วยวิธีการ Synchronous frame method (dq detection method) ดังต่อไปนี้



สมการการแปลง แรงดัน abc ให้เป็นแกนหมุน หรือ $V_{abc} \Rightarrow V_{dqo}$

$$\begin{bmatrix} V_\alpha \\ V_\beta \\ V_\gamma \end{bmatrix} = \sqrt{\frac{2}{3}} \begin{bmatrix} 1 & -\frac{1}{2} & \frac{1}{2} \\ 0 & \frac{\sqrt{3}}{2} & -\frac{\sqrt{3}}{2} \\ 0 & 0 & 0 \end{bmatrix} \begin{bmatrix} V_a \\ V_b \\ V_c \end{bmatrix} \rightarrow \begin{bmatrix} V_d \\ V_q \end{bmatrix} = \begin{bmatrix} \cos\theta & \sin\theta \\ -\sin\theta & \cos\theta \end{bmatrix} \begin{bmatrix} V_\alpha \\ V_\beta \end{bmatrix} \quad \dots \dots \dots 2.21$$

ได้สมการกระแสและแรงดันคันในรูปของสเปซเวกเตอร์ ดังสมการที่ 2.22 และ 2.23

$$V_{sd} = v_{fd} + R_f i_{fd} + L_f \frac{di_{fd}}{dt} - \omega L_f i_{fq} \quad 2.22$$

$$V_{sq} = v_{fq} + R_f i_{fq} + L_f \frac{di_{fq}}{dt} + \mathbf{O} L_f i_{fd} \quad 2.23$$

จากการทามุน Phase Lock Loop (Phase Lock Loop เป็นระบบควบคุมความถี่โดยวิธีการเปรียบเทียบเฟสของความถี่ที่ทางด้าน Output กับเฟสความถี่อ้างอิงซึ่งถูกป้อนทางด้าน Input ของระบบ) สามารถหาได้จากสมการดังนี้

$$L_f = \frac{d}{dt}(i_{fd} + ji_{fq}) + j\omega(i_{fd} + ji_{fq}) + R_f(i_{fd} + ji_{fq}) = ((V_{fd} + jV_{fq}) - (V_{sd} + jV_{sq})) \dots \dots 2.24$$

แยกสมการที่ 2.24 ออกเป็น 3 แกน(axis) คือ o-axis , d-axis และ q-axis จะได้สมการ

2.25-2.30

ແກນ d

$$L_f \frac{d}{dt} i_{fd} - \omega i_{fd} + R_f \cdot i_{fd} = V_{fd} - V_{sd} \quad 2.25$$

$$L_f \frac{d}{dt} i_{fd} - L_f \omega i_{fq} + R_f i_{fd} = V_{fd} - V_{sd} \quad 2.26$$

แกน q

$$L_f \frac{d}{dt} i_{fq} + \omega i_{fq} + R_f i_{fq} = V_{fq} - V_{sq} \quad 2.27$$

$$L_f \frac{d}{dt} i_{fq} - L_f \omega i_{fd} + R_f i_{fd} = V_{fq} - V_{sq} \quad 2.28$$

แกน ๐

$$L_f \frac{d}{dt} i_{fo} + R_f i_{fo} = V_{fo} - V_{so} \quad 2.29$$

$$\frac{di_f}{dt} = \frac{1}{L_f} (V_{fd} - V_{sd} + L_f \omega i_{fq} - R_f i_{fd}) \quad 2.30$$

เมื่อนำค่าที่ได้จากสมการที่ 2.26 ,2.28 และ 2.30 หาค่ากระแสในแต่ละแกนของ dqo

$$i_{fd} = \frac{1}{L_f \cdot s} (V_{fd} - V_{sd} + L_f \omega \cdot i_{fq} - R_f \cdot i_{fd}) \quad 2.31$$

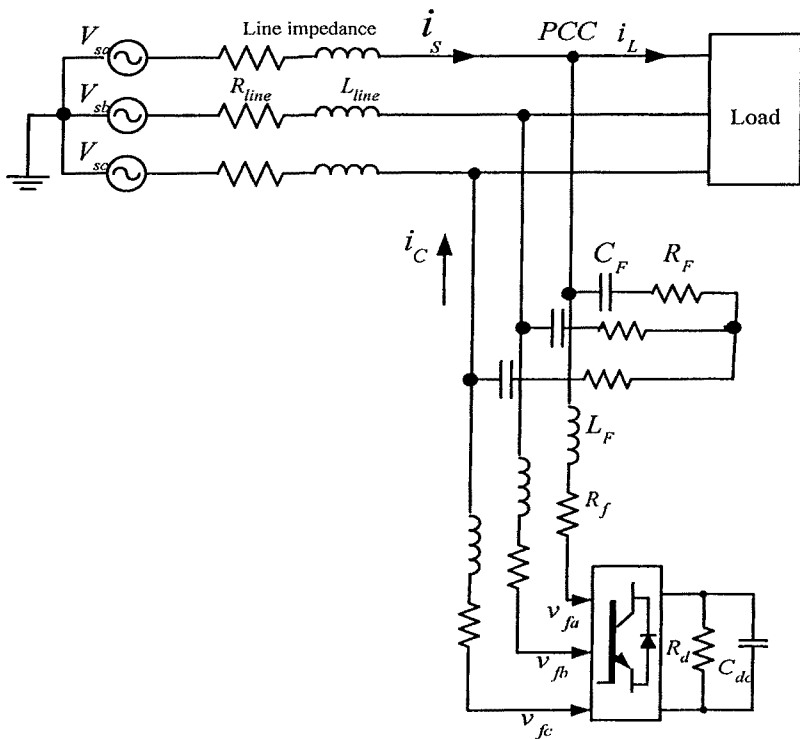


$$i_{fq} = \frac{1}{L_f \cdot s} (V_{fq} - V_{sq} + L_f \omega i_{fd} - R_f i_{fq}) \quad 2.32$$

$$i_{fo} = \frac{1}{L_f \cdot s} (V_{fo} - V_{so} - R_f i_{fo}) \quad 2.33$$

2.10.2 การจำลองชุดชดเชยแบบสติต (D-STATCOM)

ตัวชุดเชยแรงดันแบบสถิตหรือที่นิยม เรียกว่า D-STATCOM (Distribution-Static synchronous compensator) วารุณี ศรีสังกร [6] เป็นอุปกรณ์ชุดเชยกำลังรีแอคทีฟที่พื้นที่ต่อขานานกับระบบสามารถกำเนิดกระแสและดูดกลืนกำลังรีแอคทีฟได้ โดยกำลังรีแอคทีฟนี้สามารถเปลี่ยนแปลงค่าได้โดยทั่วไปแล้ว D-STATCOM ถูกใช้เพื่อรักษาระดับแรงดันไฟฟ้ากระแสสลับที่บัสเชื่อมต่อ นอกจากนี้ D-STATCOM ยังสามารถนำไปใช้เพื่อรักษาเสถียรภาพของระบบได้อีกด้วย โครงสร้างและการเชื่อมต่อระบบไฟฟ้าของ D-STATCOM แสดงในรูปที่ 2.35 จากรูปดูชุดแปลงผันของ D-STATCOM จะมีลักษณะเป็นแบบเหลี่ยมจ่ายแรงดัน ซึ่งแรงดันไฟฟ้ากระแสสลับสมดุล 3 เฟสเป็นแรงดันขาปานิเตอร์กระแสตรง D-STATCOM จะผลิตแรงดัน-ไฟฟ้า กระแสสลับสมดุล 3 เฟสเป็นแรงดันขาออก โดยแรงดันไฟฟ้ากระแสสลับนี้จะอินเฟสกับแรงดันไฟฟ้าของระบบที่จุดเชื่อมต่อ (V_{PCC}) การเชื่อมต่อระหว่างชุดแปลงผันกับระบบไฟฟ้าจะเชื่อมต่อผ่านรีแอคเตอร์เชื่อมต่อ (L_F) ส่วน R_F แทนการสูญเสียภายในของชุดแปลงผัน



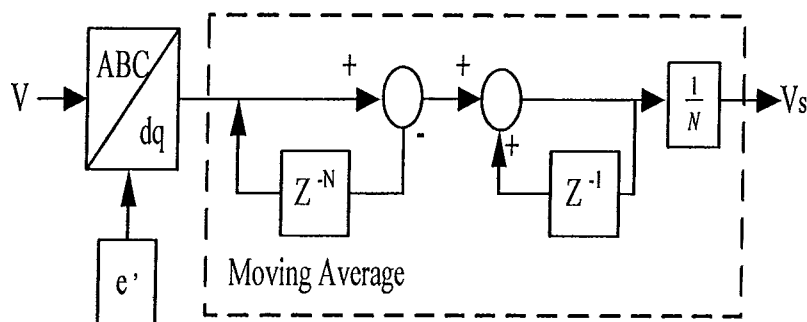
รูปที่ 2.35 โครงสร้างและการเชื่อมต่อ กับระบบไฟฟ้าของ D-STATCOM



ในกรณีนี้ D-STATCOM จะสามารถแลกเปลี่ยนได้เฉพาะกำลังไฟฟ้าจริงนั้นไม่สามารถทำได้ แต่อย่างไรก็ตามหากต้องการให้ D-STATCOM สามารถแลกเปลี่ยนได้ทั้งกำลังไฟฟ้าจริงและกำลังไฟฟ้าเรียกที่ฟิกสามารถทำได้โดยนำแหล่งจ่ายไฟฟ้ากระแสตรง เช่น แบตเตอรี่มาเป็นแหล่งจ่ายแทนค่าปัจจิตร์ ซึ่งในกรณีนี้จะทำให้ D-STATCOM สามารถแลกเปลี่ยนได้ทั้งกำลังไฟฟ้าจริงและกำลังไฟฟ้าเรียกที่ฟิกบรรบบไฟฟ้ากระแสสลับ

2.11 วิธีการรีเครอร์ซิฟดีอฟที

หลังจากที่มีการตรวจจับและคำนวณองค์ประกอบของแรงดันหลักมูลสำหรับระบบไฟฟ้า 3 เฟสและทำให้อยู่ในแกนอ้างอิงของ dq ดังแสดงในสมการที่ 2.21 แล้วนี้ จะใช้วิธีการคำนวณหาองค์ประกอบแรงดัน โดยวิธีการรีเครอร์ซิฟดีอฟ บนแกนอ้างอิงหมุนที่ความถี่หลักมูล ดังรูปที่ 2.36 ซึ่งเป็นวิธีการอย่างง่ายในทางปฏิบัติจริงและมีผลการตอบสนองที่รวดเร็วเพียงพอ หลังจากแรงดันที่ตรวจจับได้ถูกแปลงอยู่ในรูปของ dq ซึ่งเดิมมีความถี่ 50 Hz จะถูกแปลงเป็นสัญญาณไฟตรง ผ่านความถี่อื่นๆ ที่ไม่ใช่ 50Hz ซึ่งคงอยู่ในรูปแบบของสัญญาณ Sine Wave กระແສສลับ จากนั้นนำแรงดันที่ได้มาผ่านตัวกรองแบบมูฟวิงเอฟเวอร์เรจ(Moving Average)(ตัวกรองแบบมูฟวิงเอฟเวอร์เรจ จะทำหน้าที่เลี่ยงค่าสัญญาณอื่นๆ ที่ไม่ใช่ 50Hz ให้อยู่ในรูปของกระแสตรงเพื่อนำไปรวมกับค่าสัญญาณไฟตรงของความถี่ที่ 50 Hz) ดังสมการที่ 2.34 [7] ที่ความยาวครึ่งคลาของความถี่หลักมูลเพื่อแยกเอาเฉพาะสัญญาณไฟตรง นั่นคือขนาดของแรงดันหลักมูลที่ตรวจจับได้นั่นเอง



รูปที่ 2.36 วิธีการรีเครอร์ซิฟดีอฟที

$$D'_h(z) = \frac{1 - z^{-N}}{N - z^{-1}} \quad 2.34$$



การวิเคราะห์และออกแบบชุดชดเชยแรงดัน
ปรับปรุงการเกิดการเปลี่ยนแปลงแรงดันจากการผลิตกระแสไฟฟ้าด้วยกังหันลม

สรุป

จากการศึกษาวรรณกรรมหรืองานวิจัยที่เกี่ยวข้องถึงคุณภาพของแรงดันไฟฟ้า ตาม มาตรฐาน IEEE1159-1995 พบว่าแรงดันในระบบไฟฟ้า มีการเปลี่ยนแปลงได้หลายรูปแบบขึ้นอยู่ กับชนิดของความรุนแรงของการเกิดความผิดพร่องขึ้น สำหรับงานวิจัยนี้เรามุ่งประเด็นแก้ปัญหา การเกิดการเปลี่ยนแปลงแรงดันตกชั่วขณะ แบบไม่สมมาตร หรือการเกิดความไม่สมมาตรขึ้นของ แรงดันแต่ละเฟส โดยตามมาตรฐานระบุไว้ว่า ช่วงระยะเวลาเกิดแรงดันตกชั่วขณะ อยู่ที่เวลา 3 วินาที จนถึง 1 นาที ซึ่งมีผลของการเกิดแรงดันตกที่ 0.1 ถึง 0.9 pu. ต่อไปนี้จะอธิบายถึงการเกิด ความผิดพร่องขึ้นในระบบไฟฟ้าที่ส่งผลให้แรงดันเกิดความไม่สมมาตรขึ้น แบ่งได้เป็น 3 ประเภท นั้นคือ 1. เฟลลงกราวด์ 2. เฟลลงกราวด์ และ ระหว่างเฟสกับเฟส ผลของการเกิดความไม่สมมาตร ของแรงดัน 3. เฟส ทำให้องค์ประกอบของแรงดันมีความแตกต่างกันด้วย นั้นคือ องค์ประกอบ ลำดับแรก ลบ และ ศูนย์ ในส่วนการควบคุมการชดเชยแรงดันไฟฟ้าเข้าในระบบไฟฟ้านั้น งาน วิทยานิพนธ์นี้เรามุ่งประเด็นที่จะควบคุมกระแสเพื่อรักษาแรงดันในระบบ ดังนั้นจึงเลือกใช้วิธีการ ของ D-STATCOM ซึ่งเป็นแหล่งจ่ายกำลังไฟฟารีแอคทีฟที่ควบคุมได้ สามารถกำเนิดและดูดกลืน กำลังไฟฟารีแอคทีฟได้ตามต้องโดยการควบคุมการทำงานของชุดแปลงผัน เพื่อนำไปต่อขานาเข้า กับระบบไฟฟ้าแบบ 3 เฟสต่อไป